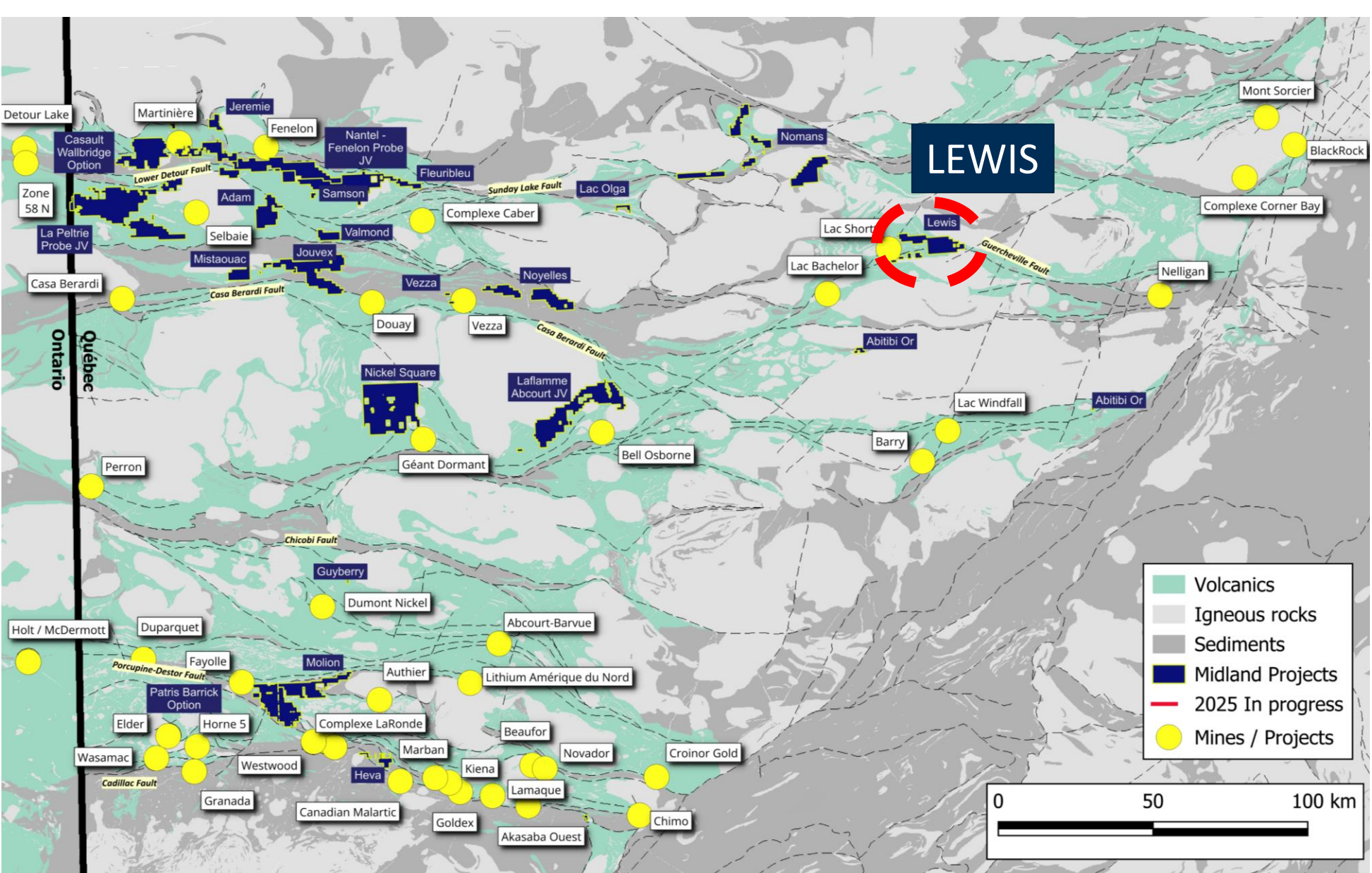


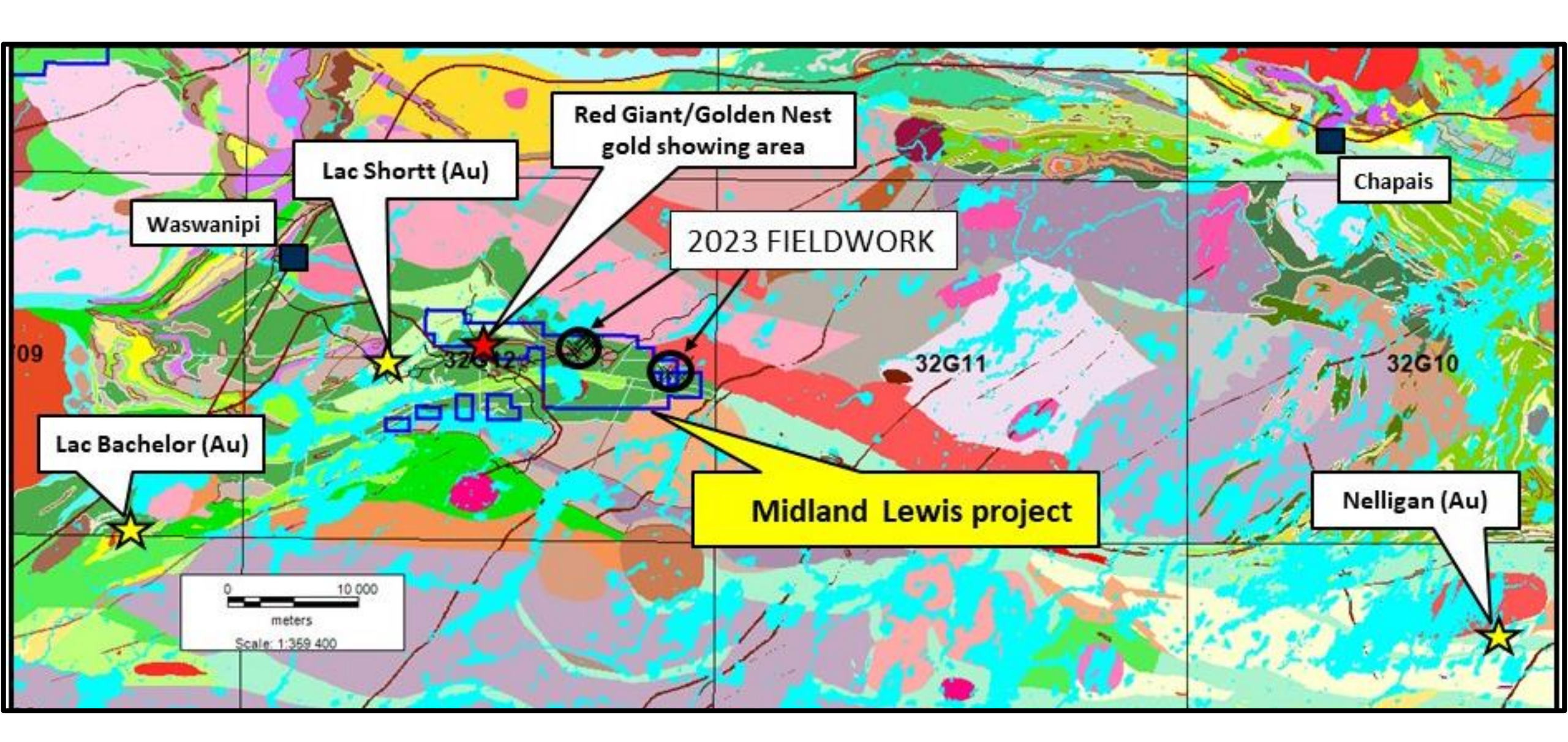
Localisation projet Lewis





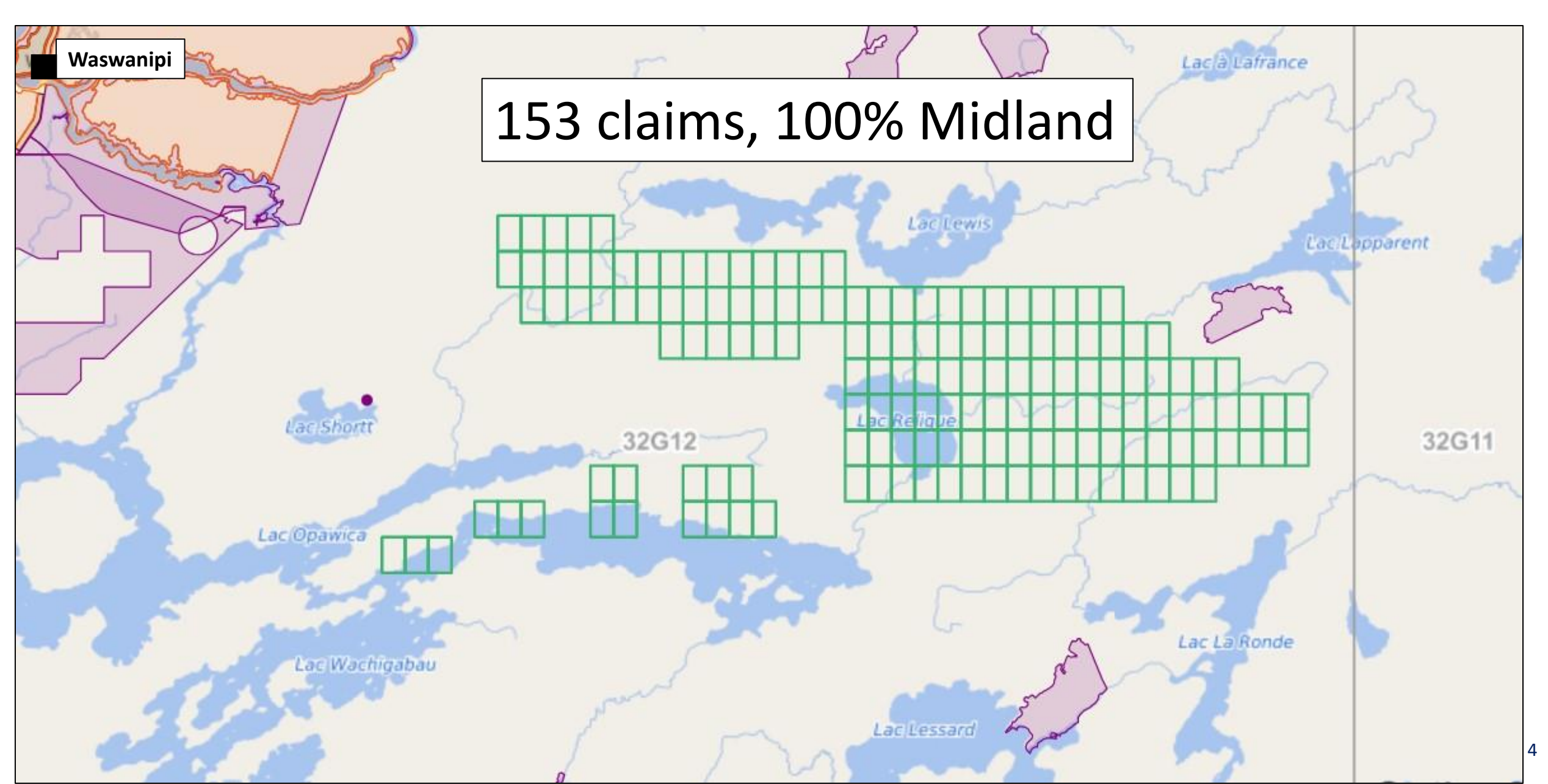
Localisation projet Lewis





Situation des claims mars 2025





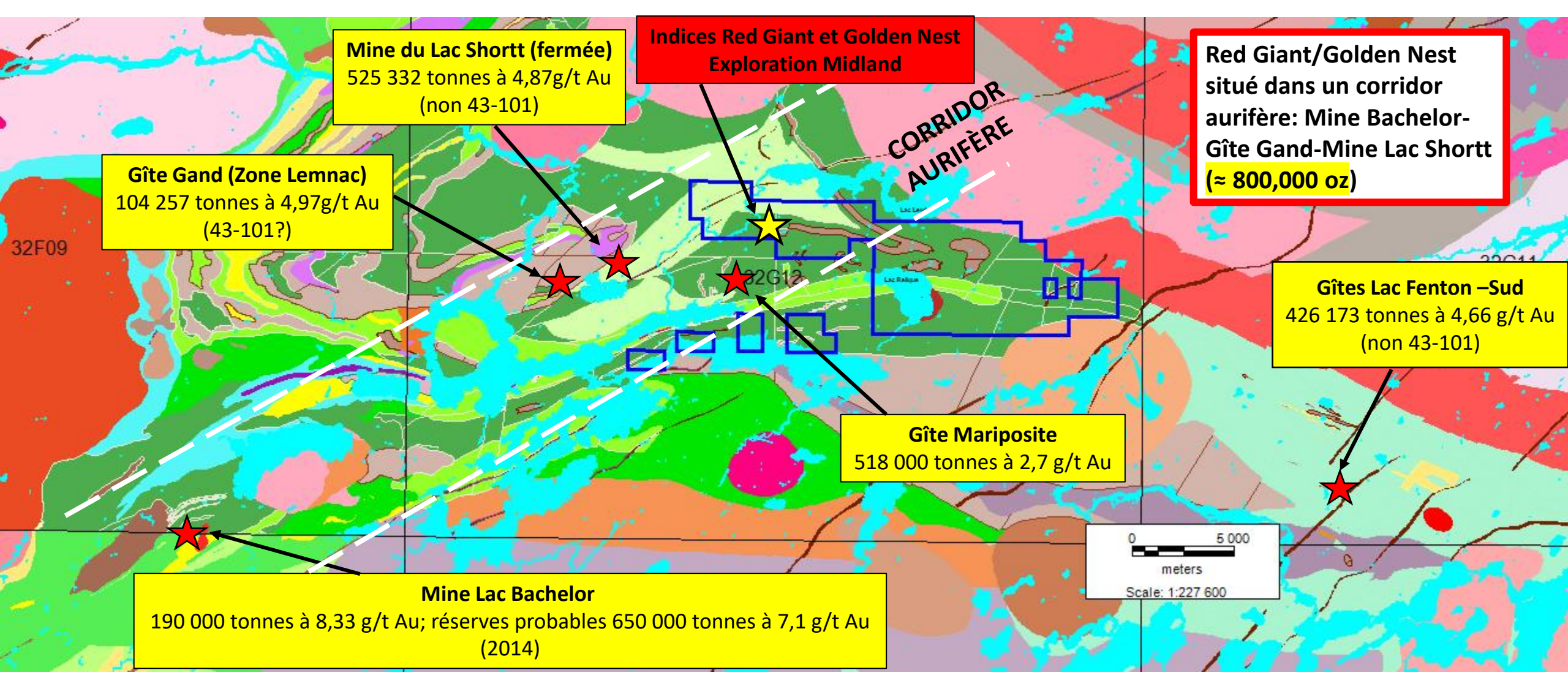
Survol projet Lewis



- Le projet Lewis est situé à 8 km au nord-est de la mine d'or historique du Lac Shortt (2,7 Mt à 4,59 g/t Au), dans un district aurifère titrant en moyenne entre 4 et 7 g/t Au (≈800 000 oz).
- Il s'agit d'une zone bien connue, ayant fait l'objet de nombreux travaux de terrain historiques depuis les années 1940. En revanche, la position de Midland dans le corridor aurifère a été peu étudiée.
- Lors de la première campagne de terrain, Midland a découvert un nouvel indice significatif : Red Giant (2,1 g/t Au). Des tranchées de suivi ont révélé 0,68 g/t Au sur 3 m, puis un deuxième indice significatif : Golden Nest (10,2 g/t Au).
- Les nouveaux indices aurifères sont situés dans le corridor aurifère des gisements Bachelor, Gand et Lac Shortt, présentant les mêmes caractéristiques (veines de quartz-carbonate de fer pyriteux dans des roches mafiques).
- La minéralisation est principalement contrôlée par des structures nord-est et des fractures nord-ouest : la canalisation du quartz-carbonate de fer aurifère. Fluides, ceux-ci n'ont pas formé d'enveloppe aurifère étendue, car les valeurs aurifères sont restreintes et/ou très proches des structures.
- Il semble que des intrusions aient joué un rôle important à la mine historique du lac Shortt (gabbro, syénite, carbonatite). Celles-ci pourraient être magnétiques, leur importance restant à déterminer à Lewis (gabbro ?).
- La zone de déformation régionale d'Opawica est-ouest présente également un potentiel, mais la concentration en or semble plus importante au nord de la zone de déformation.

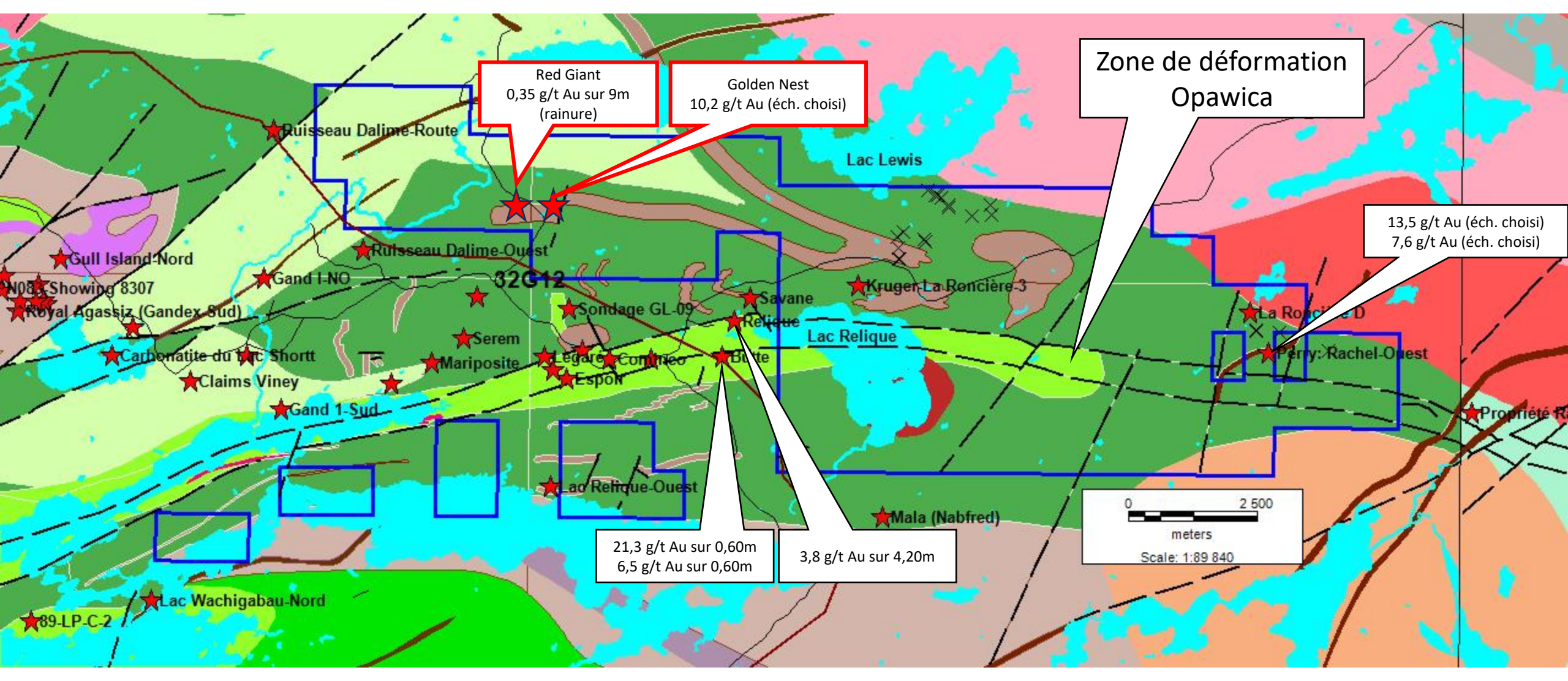
Projet Lewis: District aurifère





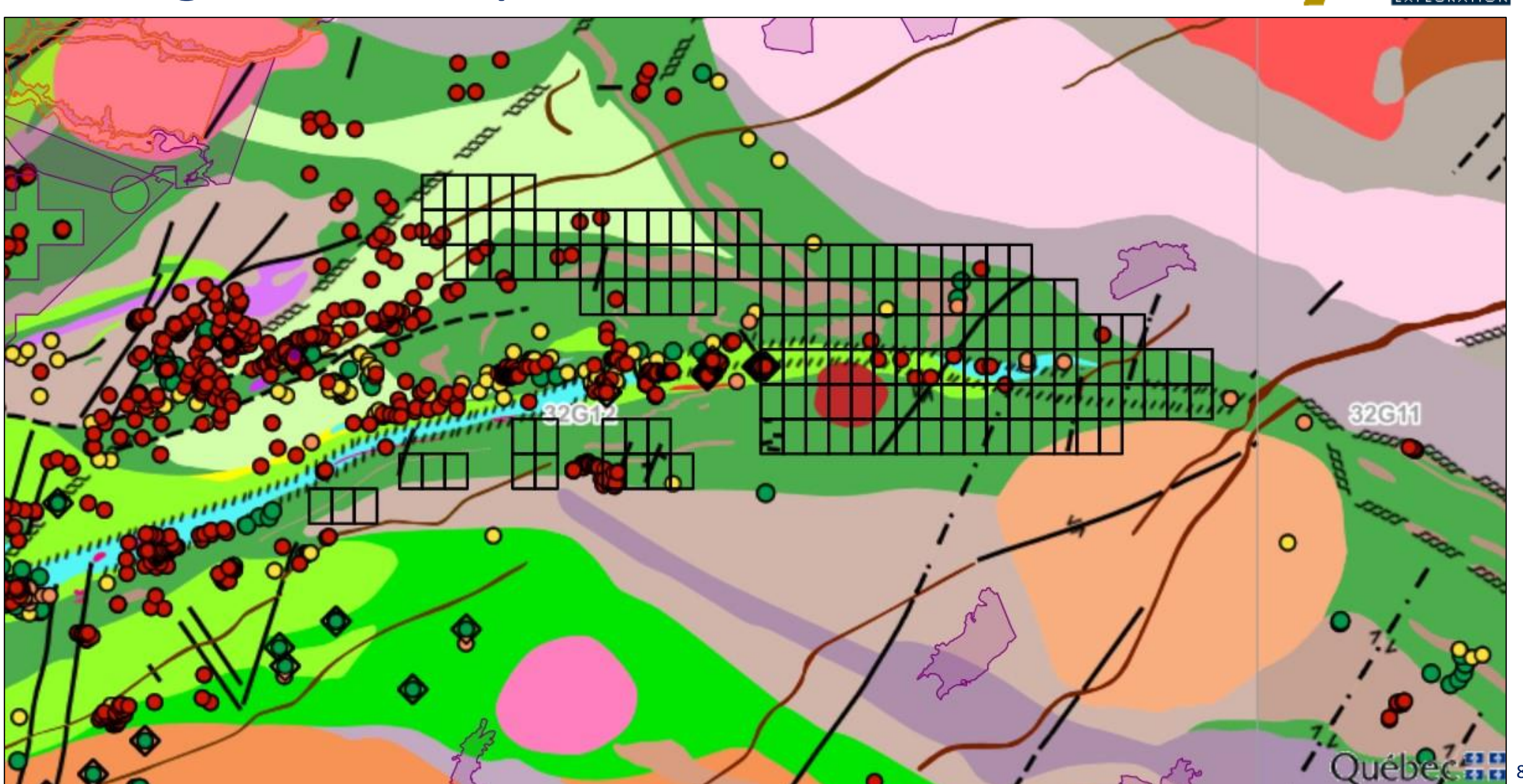
Projet Lewis et indices connus





Forages historiques





Travaux Midland: 2020-2024



Juin 2020:

- Prospection 2 sem/4 géo Prospection générale de la propriété.
- Découverte indice Red Giant: meilleurs résultats: 2,13 g/t Au en éch. choisi (9 éch. choisis entre 0,2 et 2,13 g/t Au)

Octobre 2020:

- Décapage secteur Red Giant (30m X 10m)
- Meilleurs résultats: 0,68 g/t sur 3,0 m et 0,38 g/t Au sur 8,0 m en rainure.
- 20 échant. > 0,1 g/t Au sur 33 échant. total en rainures

2021:

- Levé PP Orevision-
- Prospection sur l'ensemble des lignes PP Découverte indice Golden Nest: 10,2 g/t Au en éch. choisi.
- Décapage indice Golden Nest et trois autres tranchés sur axe PP. Meilleurs résultats: 0,98 g/t sur 3m; 0,65 g/t sur 6m.

2022: MAG HD (1850km) bloc centre et nord-ouest et levé de sols (400) sur extension possible des indices vers l'est, et nez de pli.

- Prospection (10 jours) anomalies de sols et structures MAG.
- Découverte bloc métrique sub anguleux de I1 à Stockwork de VI de QZ à Cp-Py (15 ppb Au pas analysé pour Cu-Mo),
 source inconnue. Secteur I4 à Py-AK++, Cl+, pas de valeurs significatives.

2023: Prospection (4 jours): secteur centre nord. Trouvé plusieurs boulders de V3 à CL++, TL++, AK+, Tr Py, pas de résultat significatif.

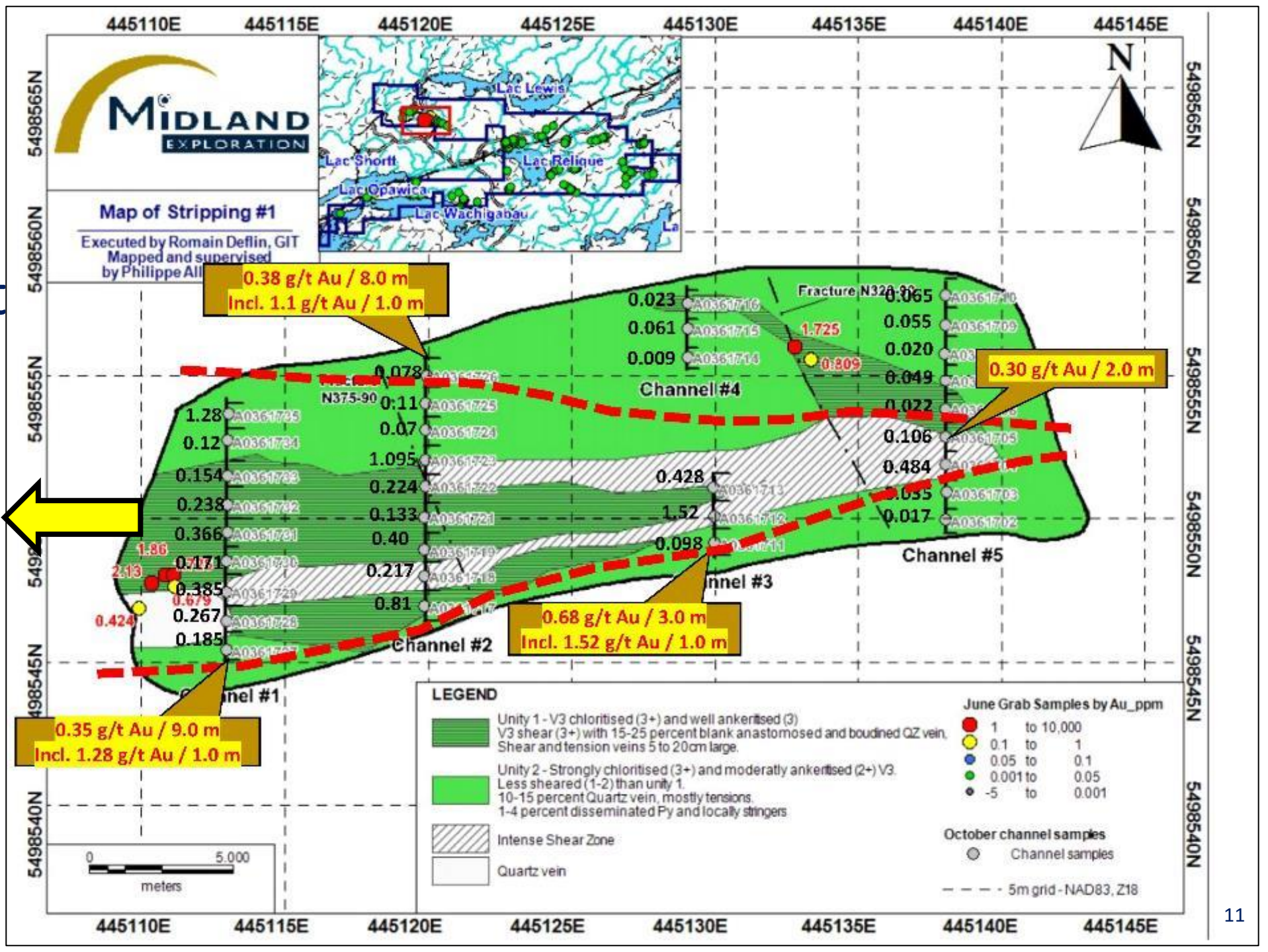
2024: Forage: 2 trous de forage (399,35m). Meilleurs résultats: 0,106 g/t Au sur 5m et 0,304 g/t Au sur 4m





Décapage octobre 2020 indice Red Giant

Ouvert











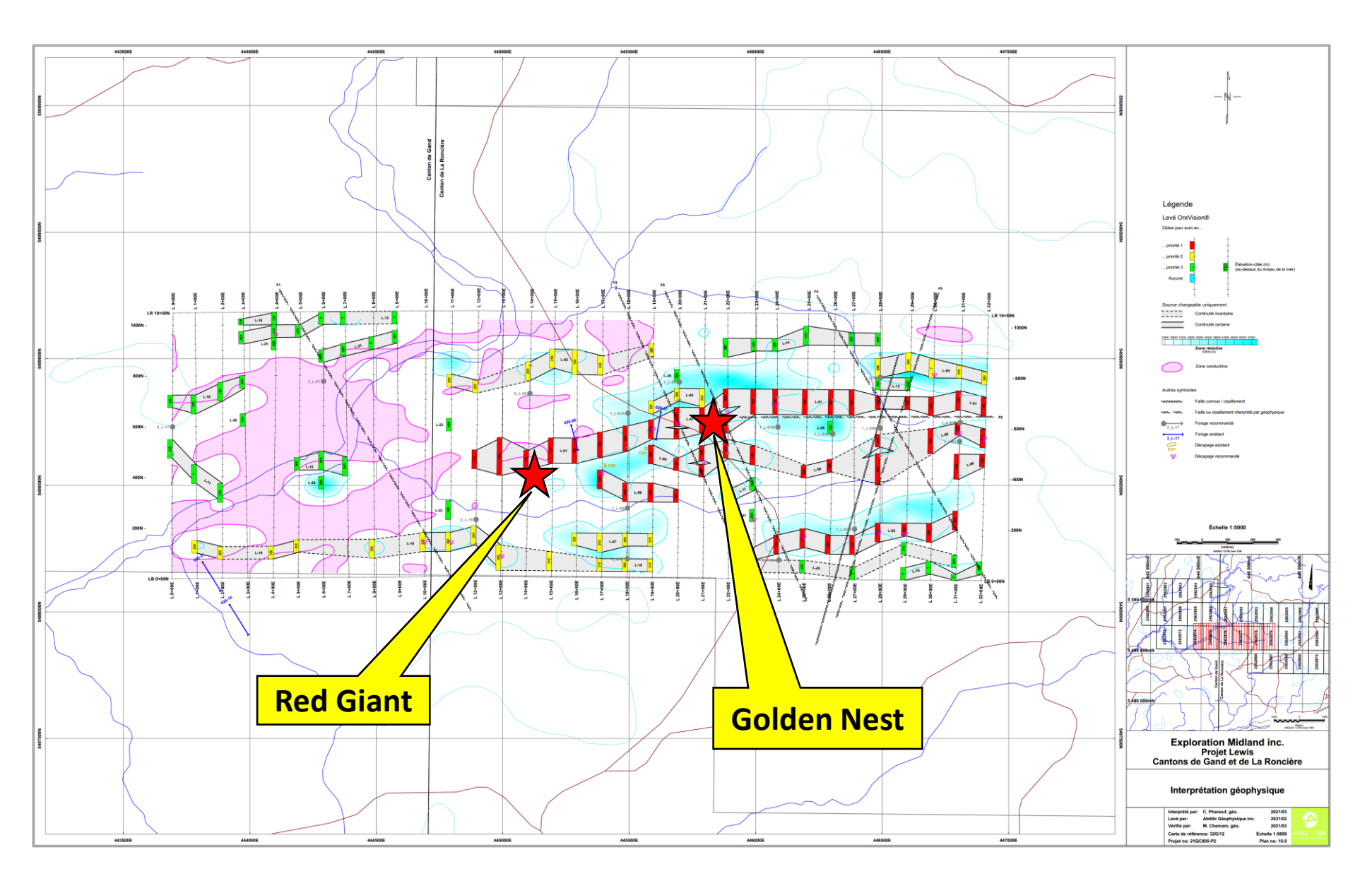
Red Giant





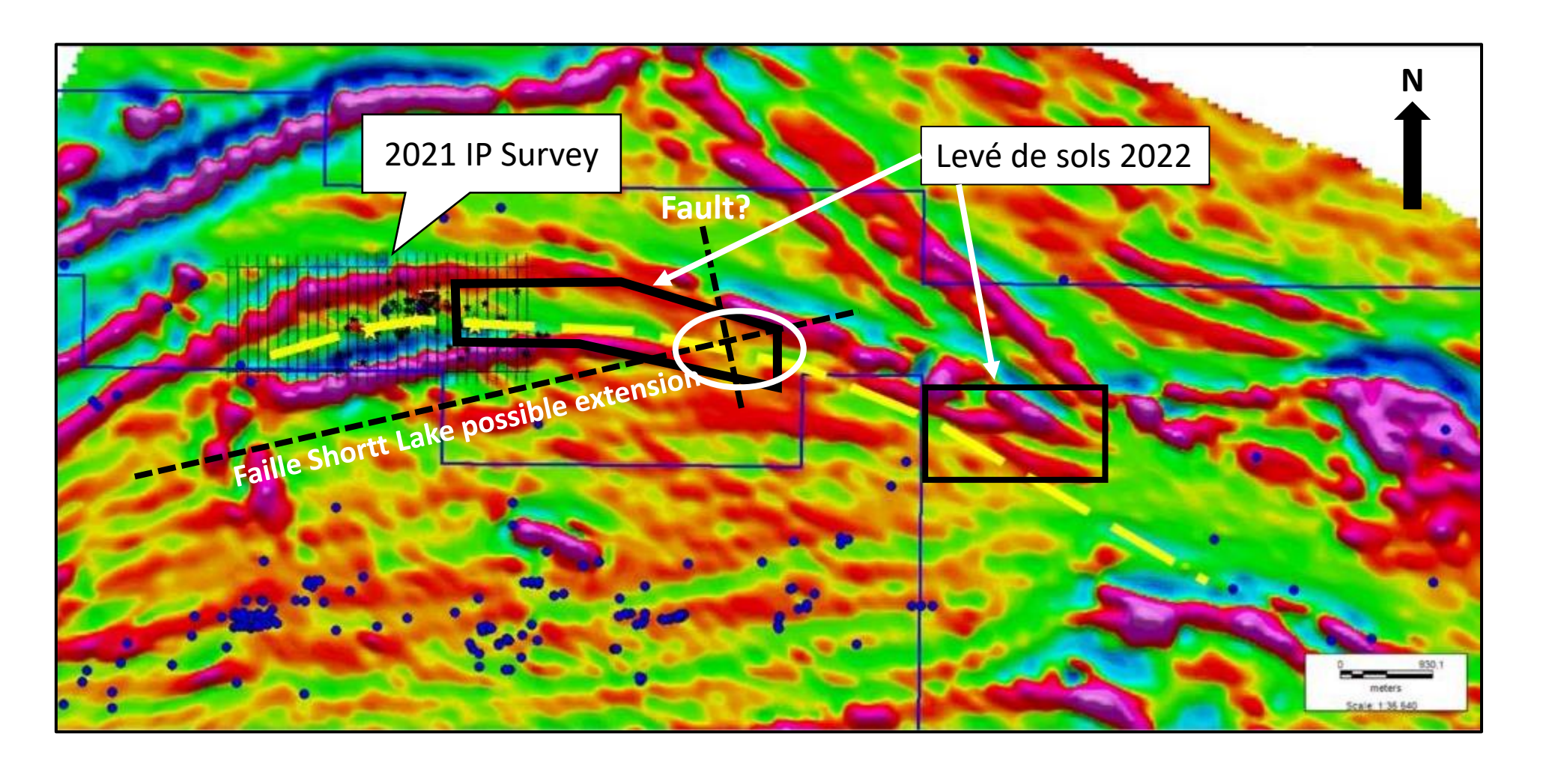
Levé PP OreVision_2021





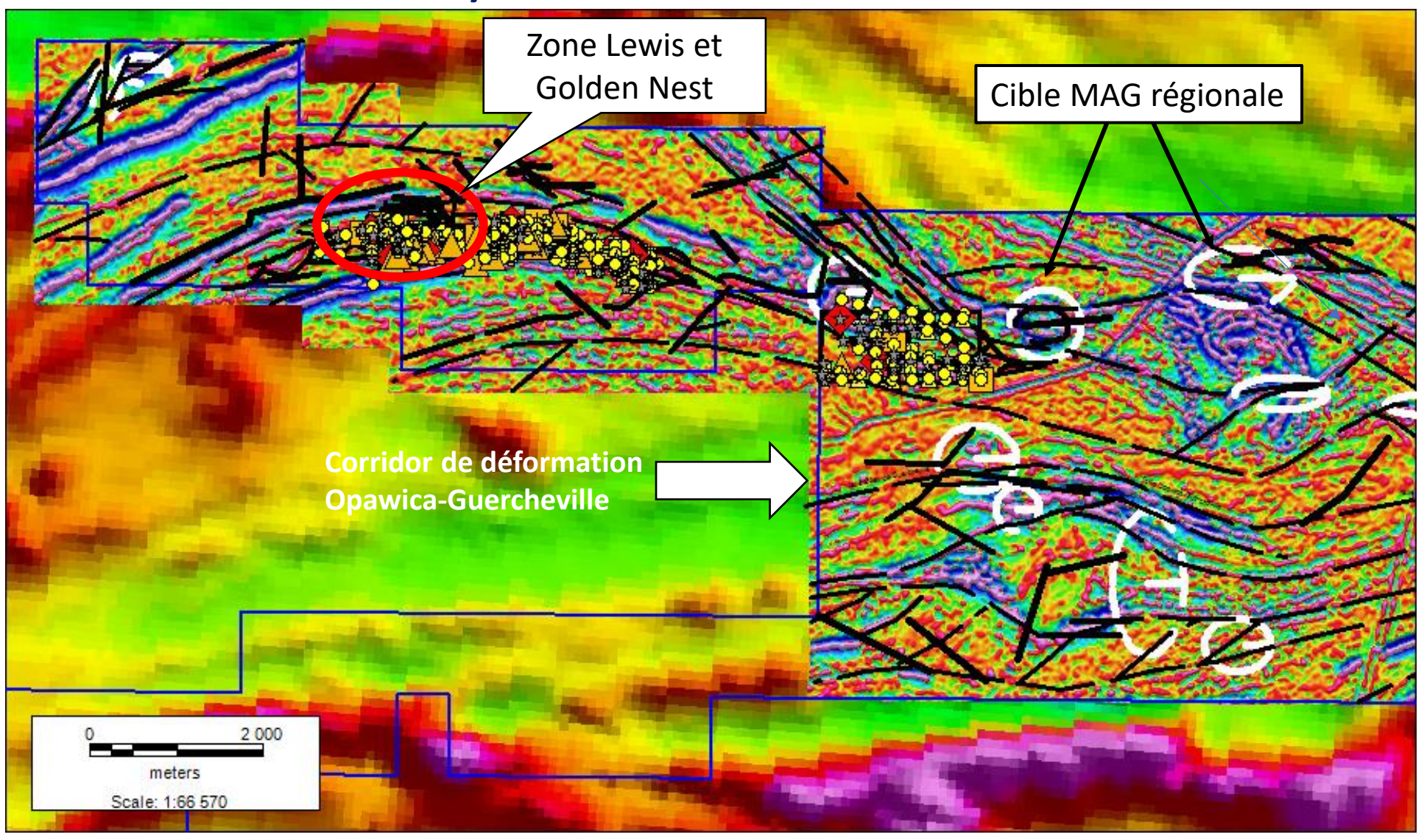
Contour levé de sols 2022





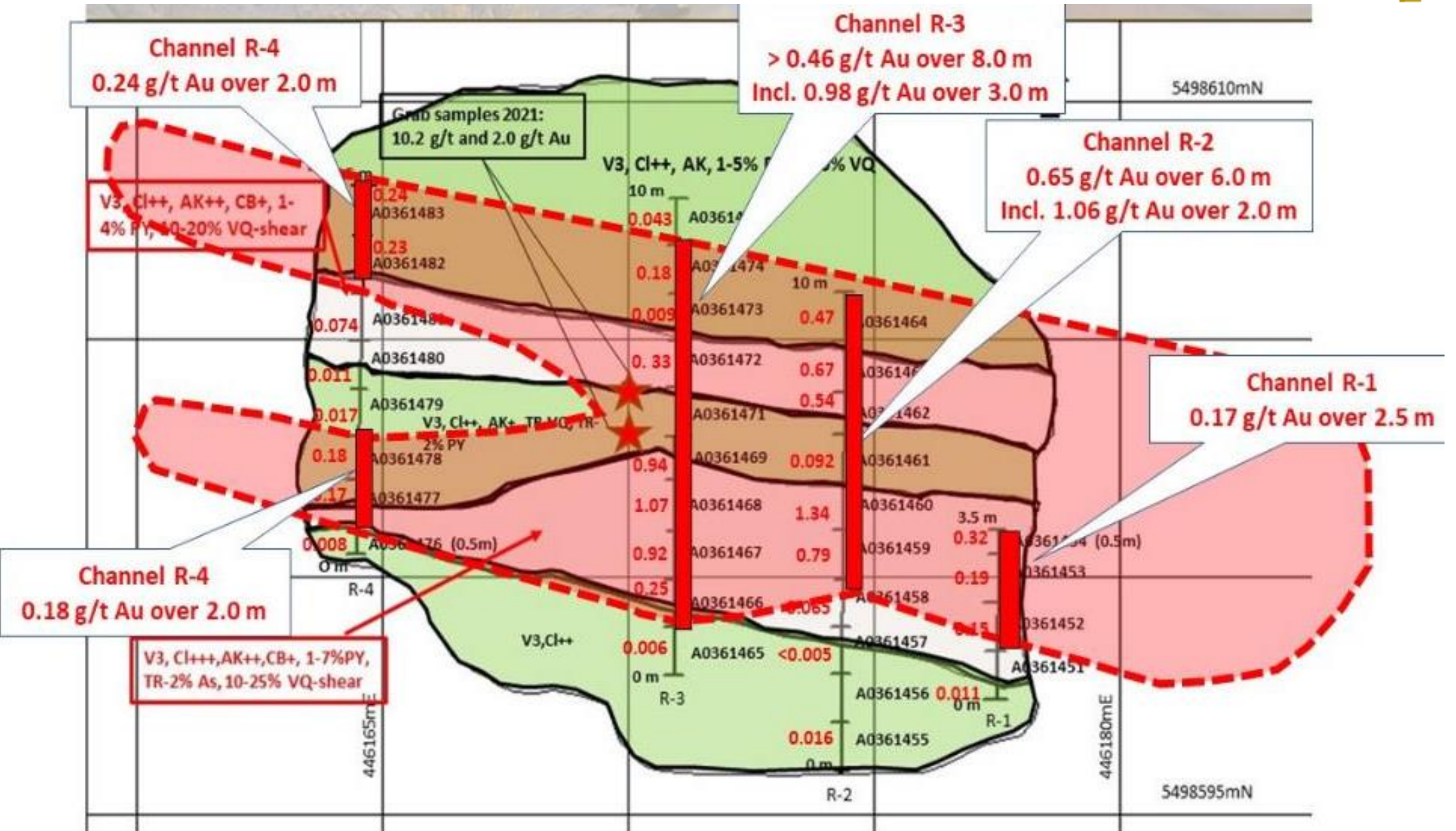
2022 Aperçu général de l'étude des sols (résultats Au-As) et des cibles MAG HR





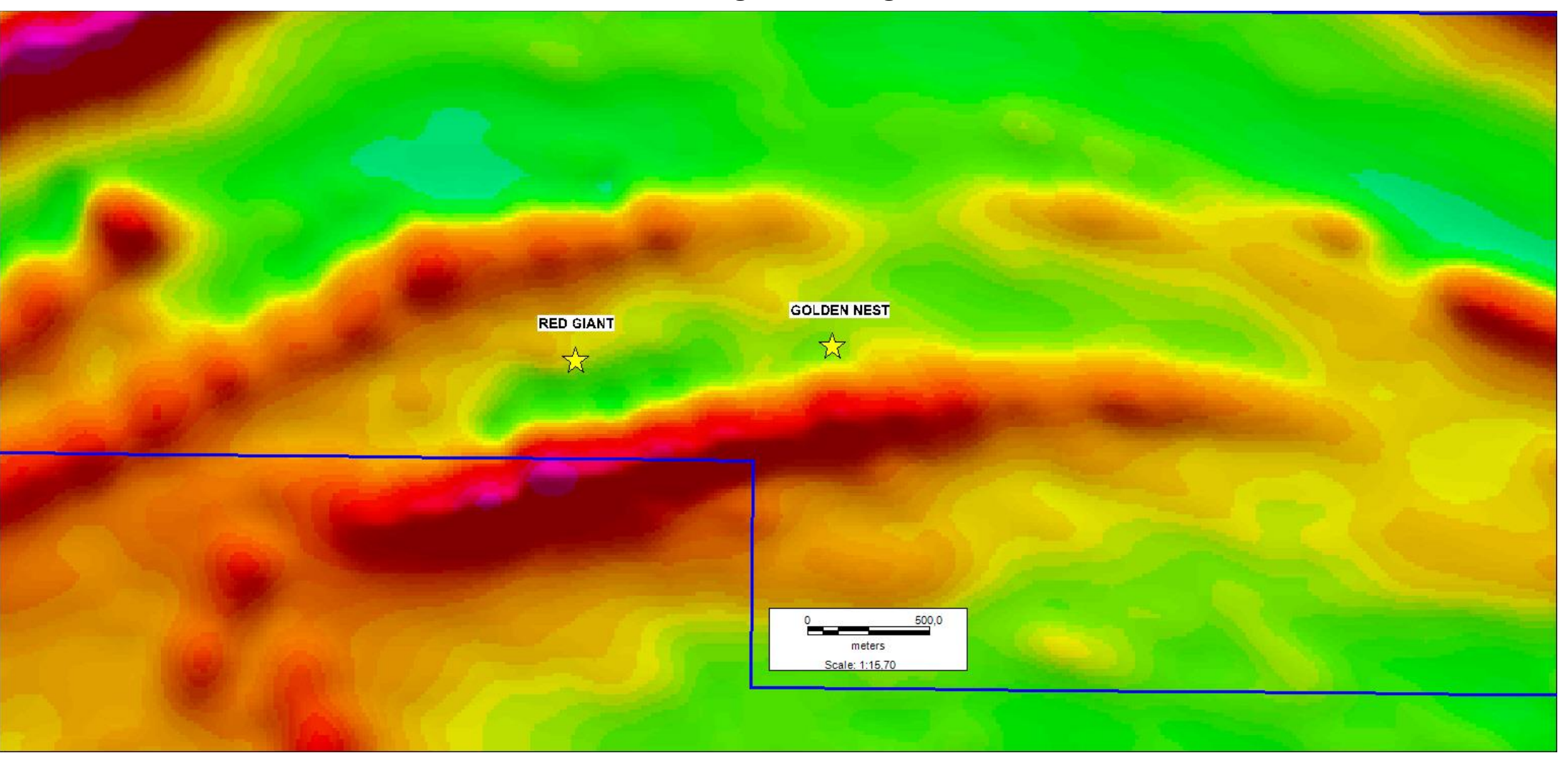
Décapage #1- 2021- Indice Golden Nest







MegaTEM Mag

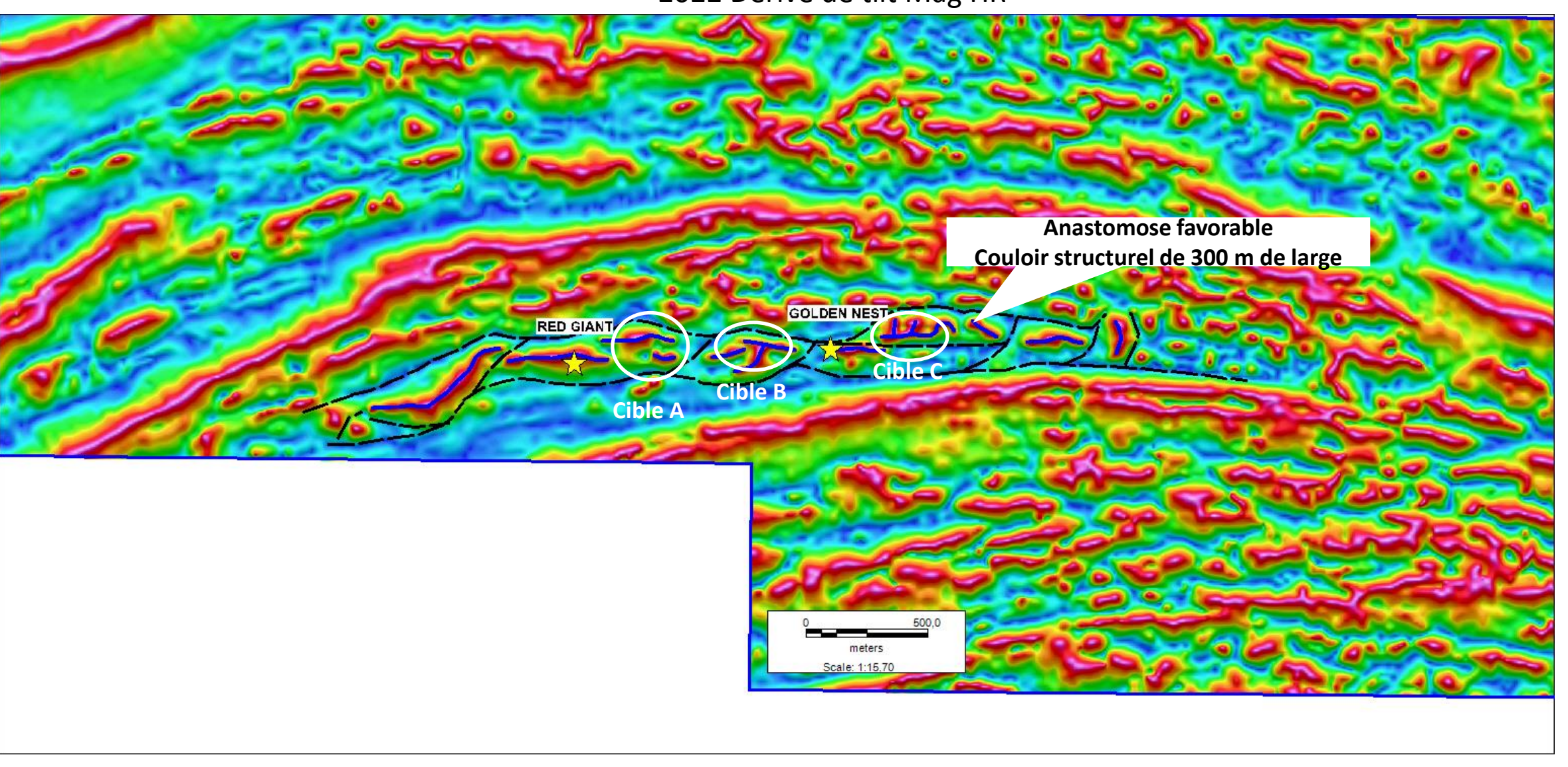




2022 HR Mag **GOLDEN NEST RED GIANT**

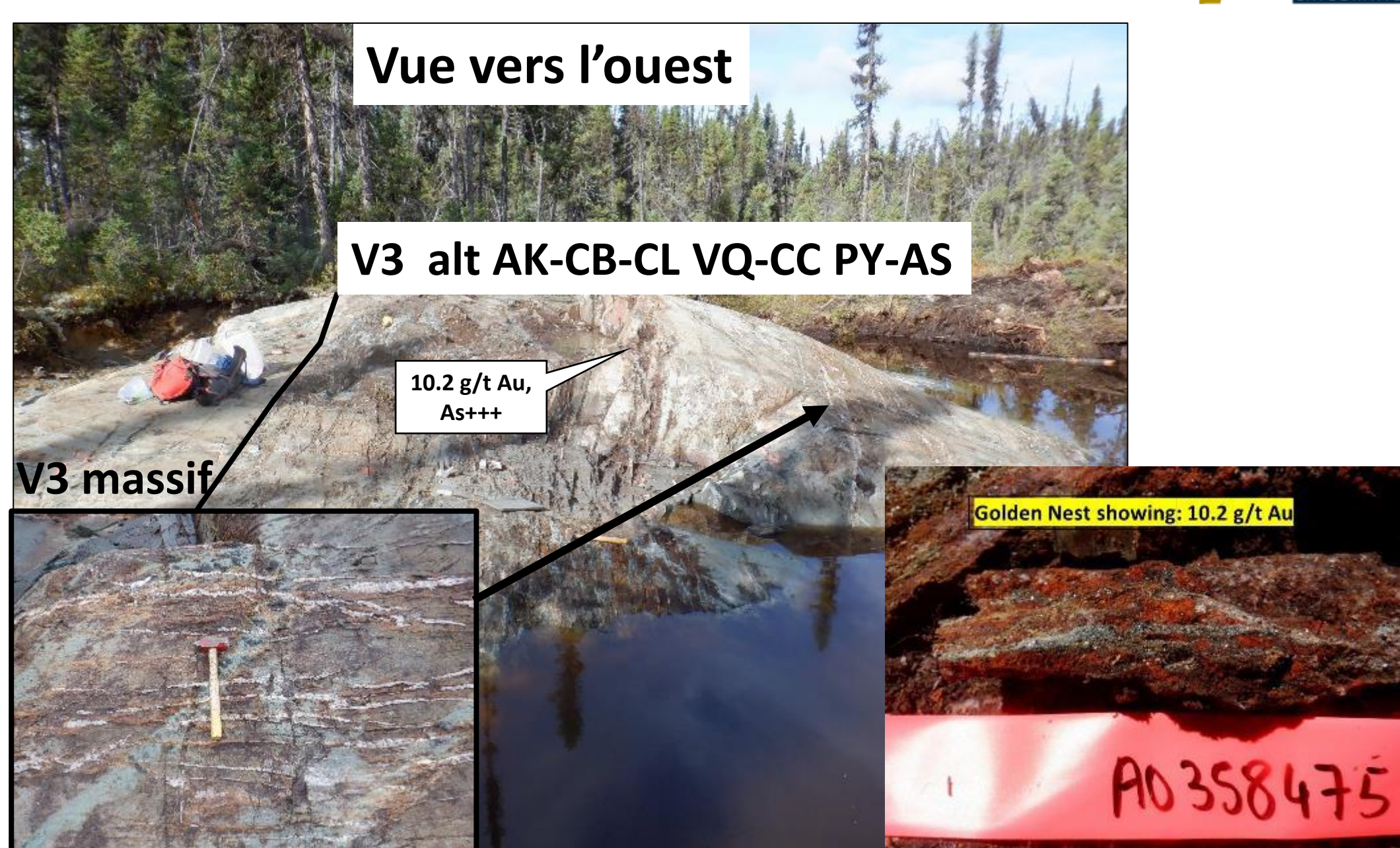


2022 Dérivé de tilt Mag HR



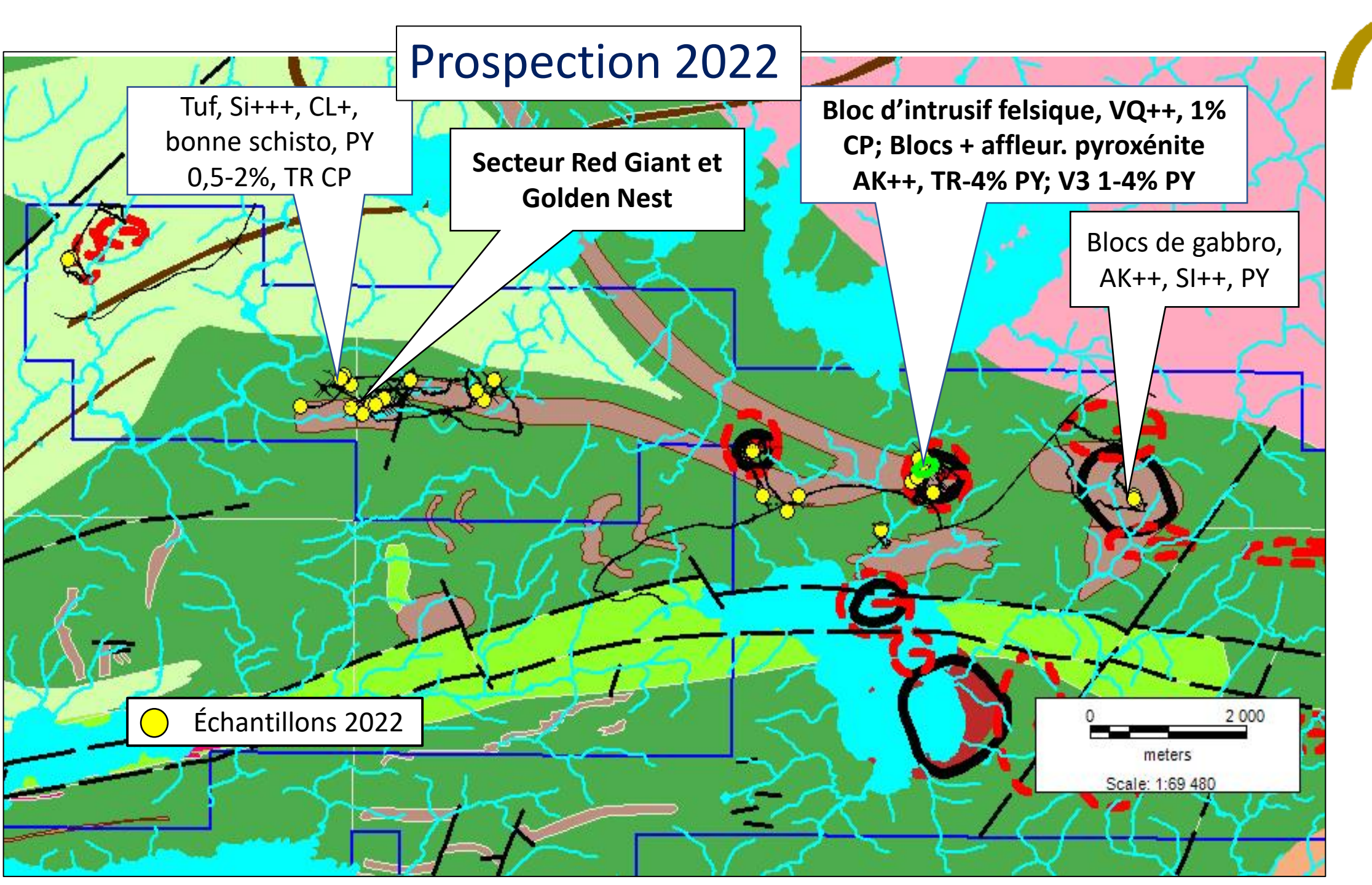
Décapage Golden Nest (2021)





Golden Nest

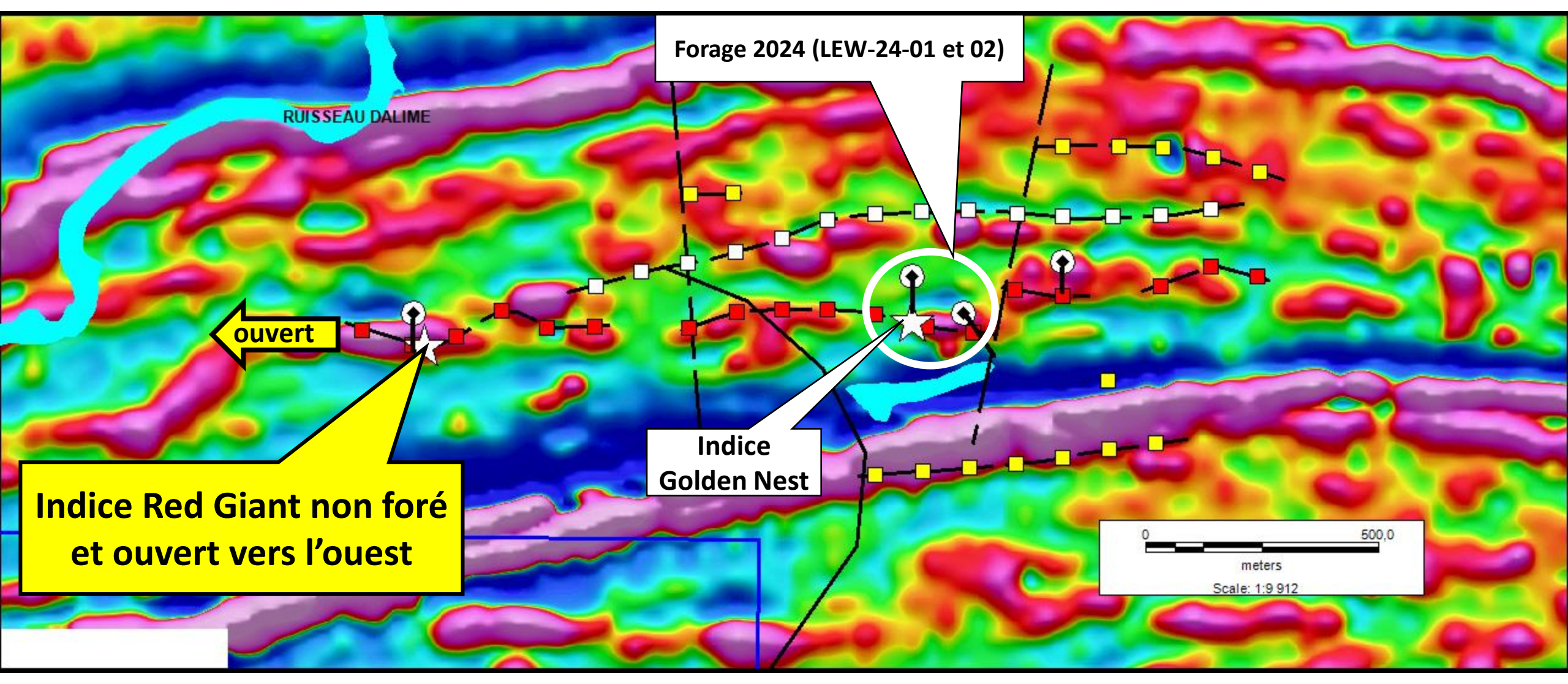






Forage 2024



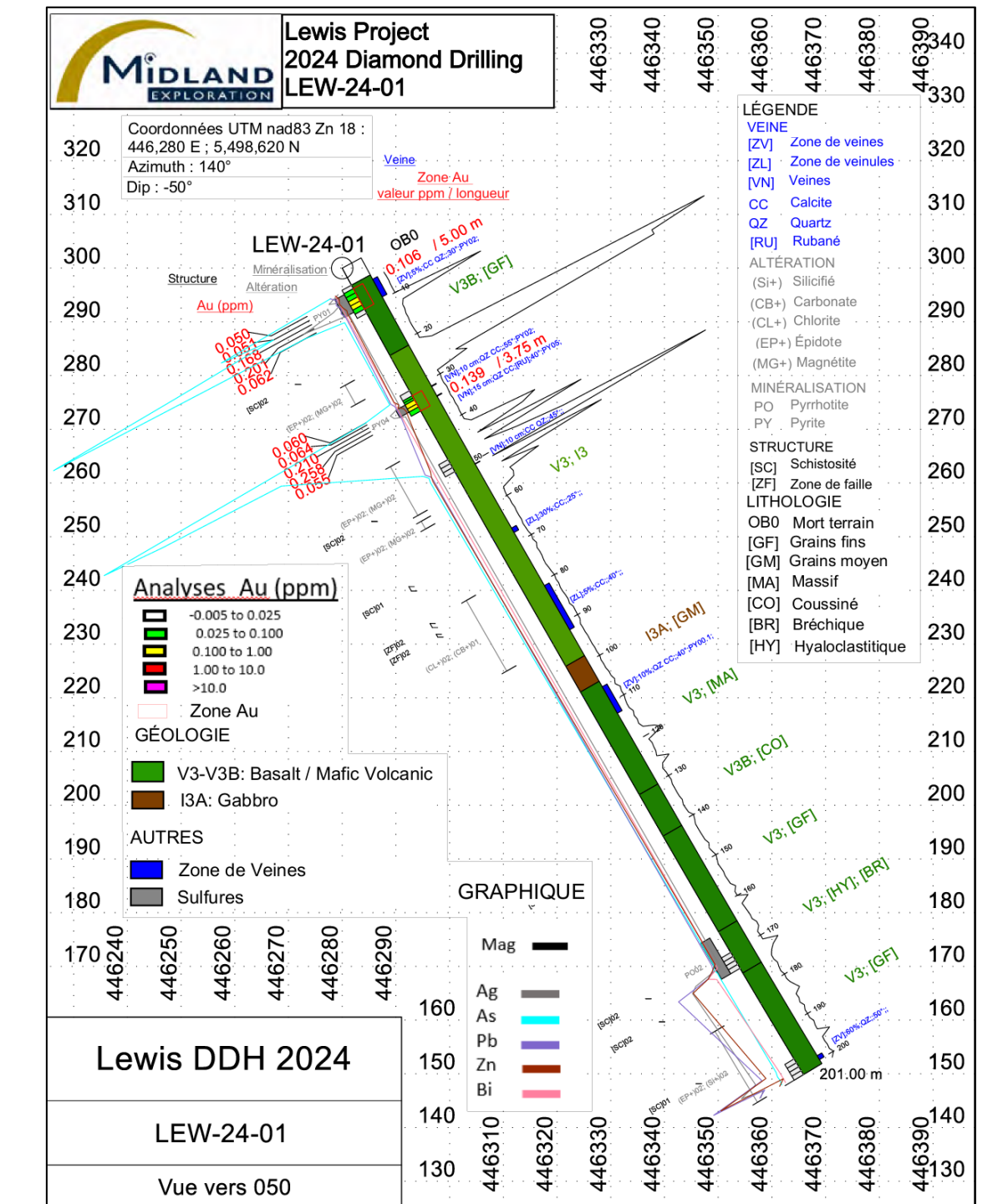


LEW-24-01

Meilleurs résultats:

0,106 g/t Au sur 5m

0,139 g/t sur 3,75m

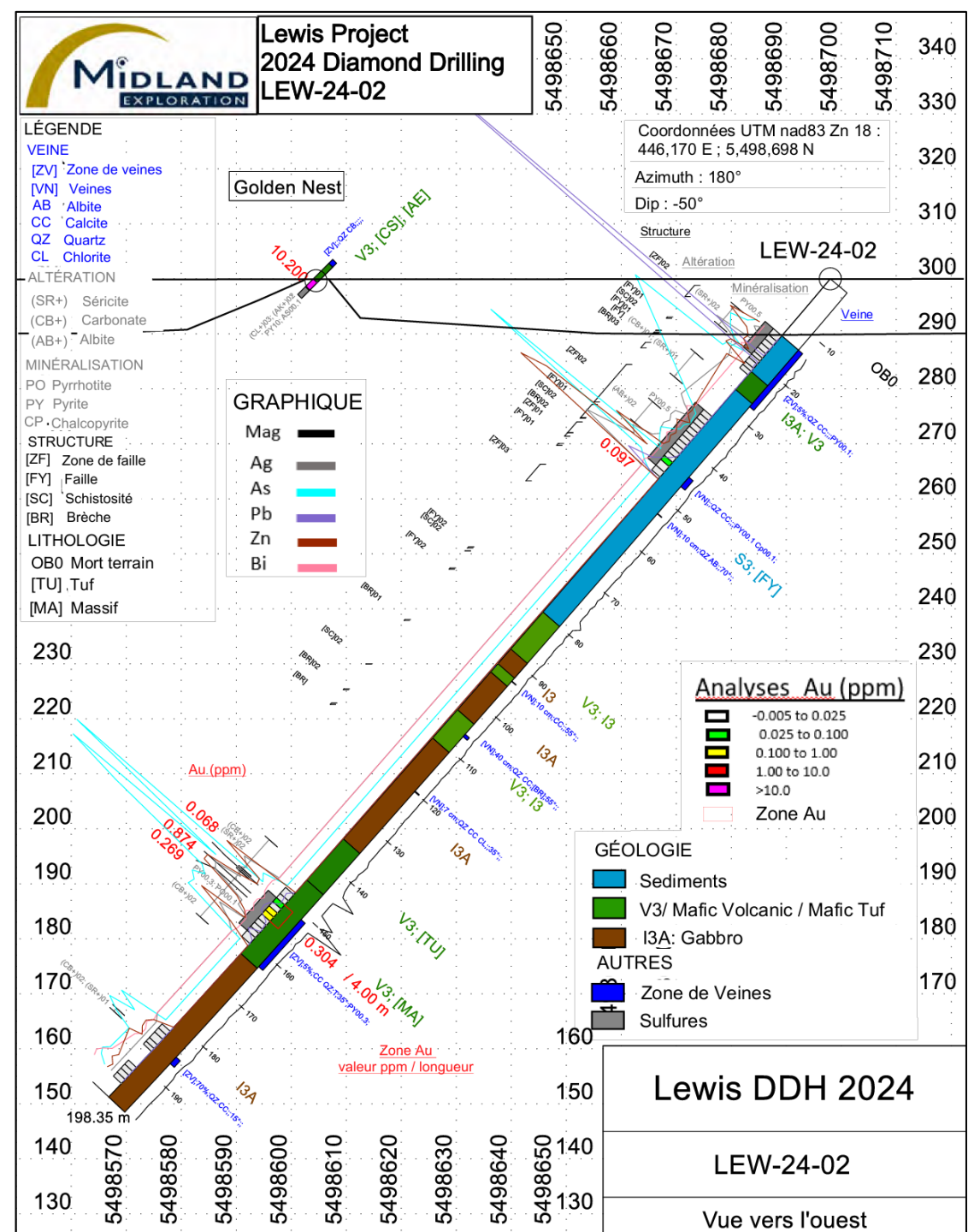




LEW-24-02 (sous Golden Nest)

Meilleur résultat:

0,304 g/t Au sur 4m

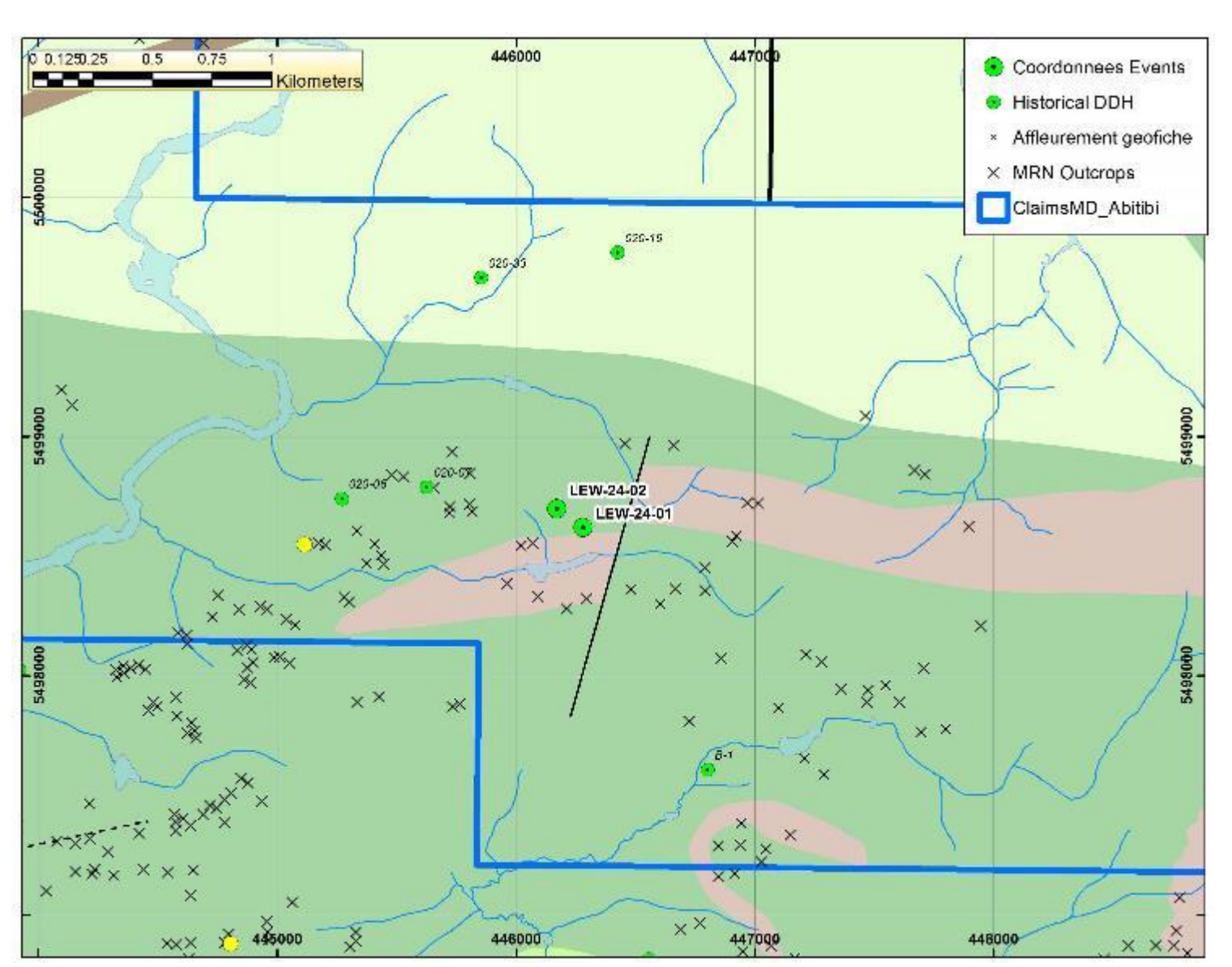




Lewis Forage 2024 Géochimie



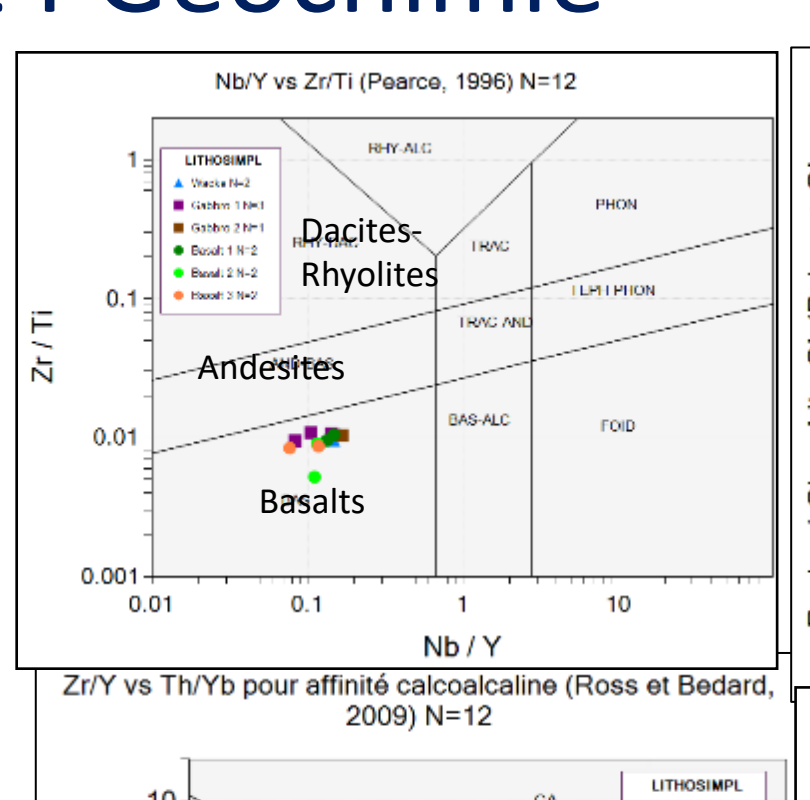
- 2 trous de forage en 2024
- Géochimie de la roche complète (n=11) et ICP-MS 4-acides (n=67) réalisées.
- Cette étude vise à identifier les signatures d'altération et métalliques des différents types de roches et de minéralisations.

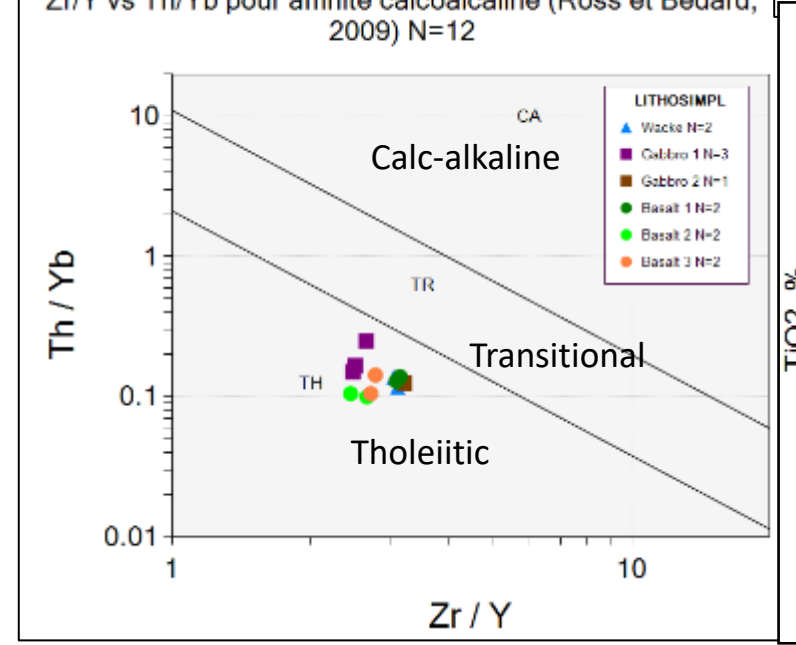


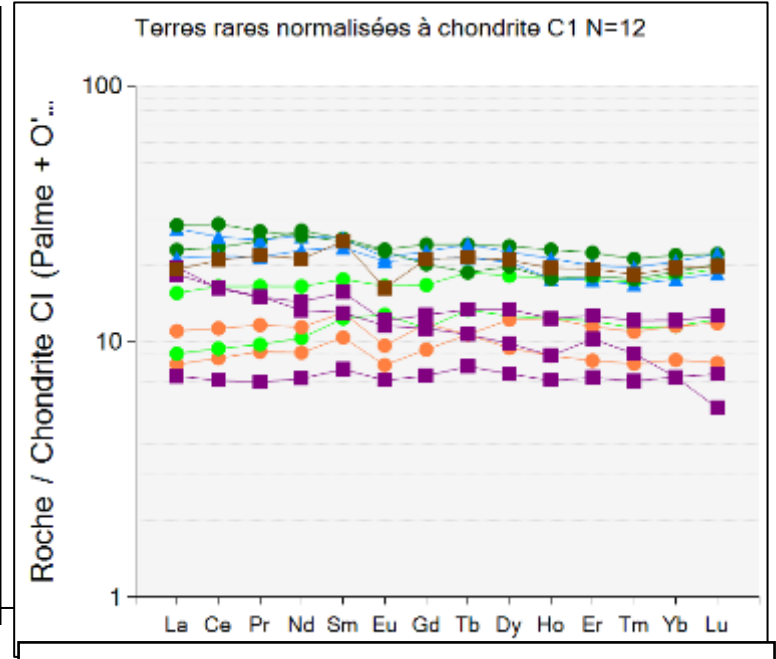
Lewis Forage 2024 Géochimie

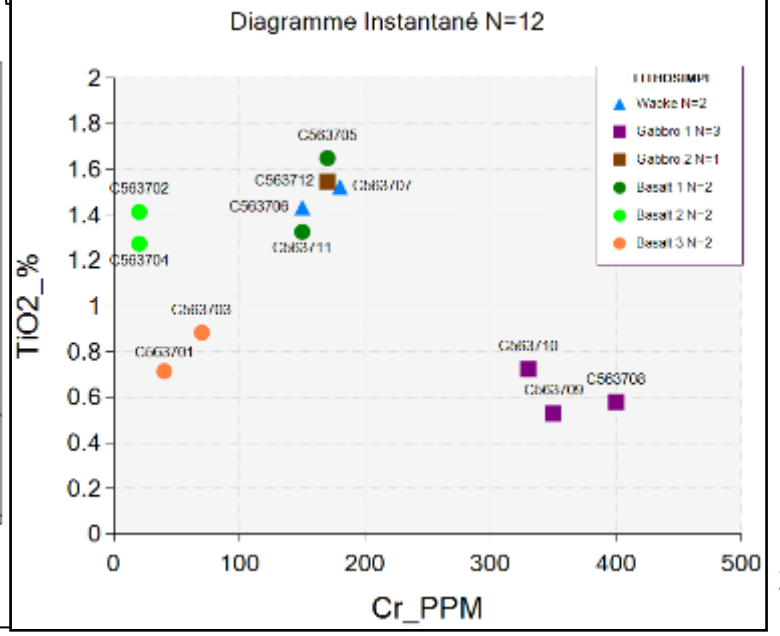
MidLAND

- Certains échantillons identifiés comme des roches sédimentaires dans les diagraphies présentent des compositions mafiques évidentes – probablement des sédiments volcanogéniques.
- Tous les échantillons se classeraient comme des basaltes tholéiltiques standards (profils de terres rares plats typiques) d'après les éléments immobiles - Probablement une séquence synvolcanique de basaltes et de gabbros avec des intervalles de sédiments volcanogéniques.
- Les sous-classes identifiées ici sont basées sur les valeurs de Cr et Ti (variétés plus riches en Mg ou plus riches en Fe) et présentent des profils de terres rares légèrement différents.





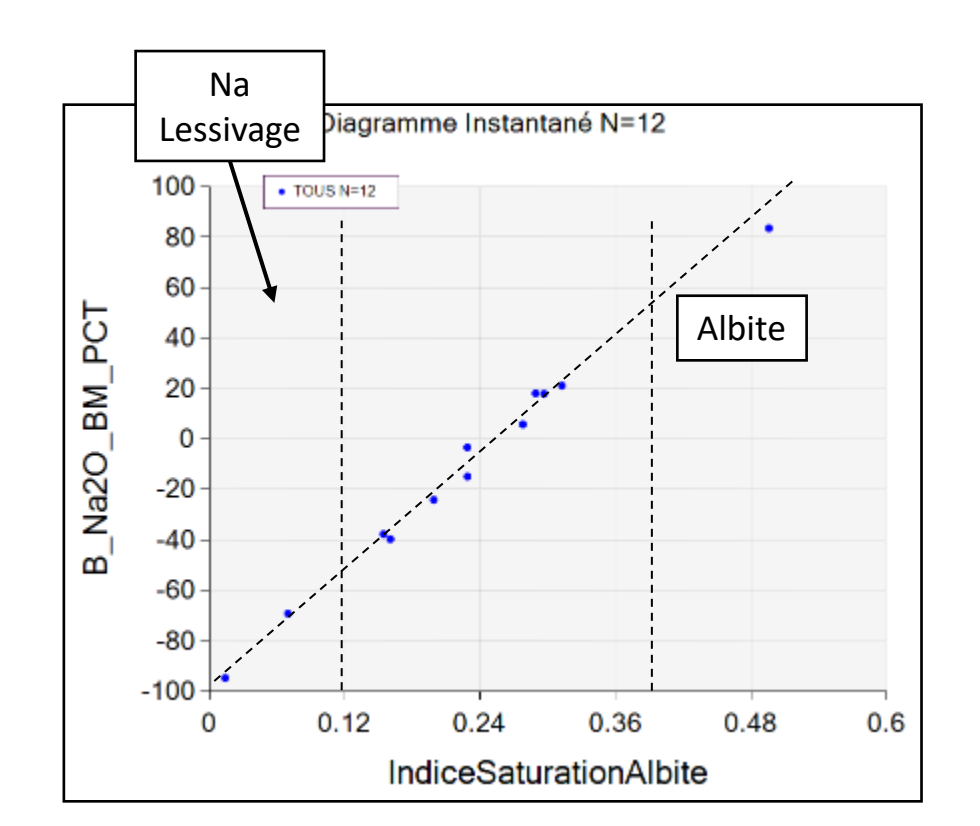


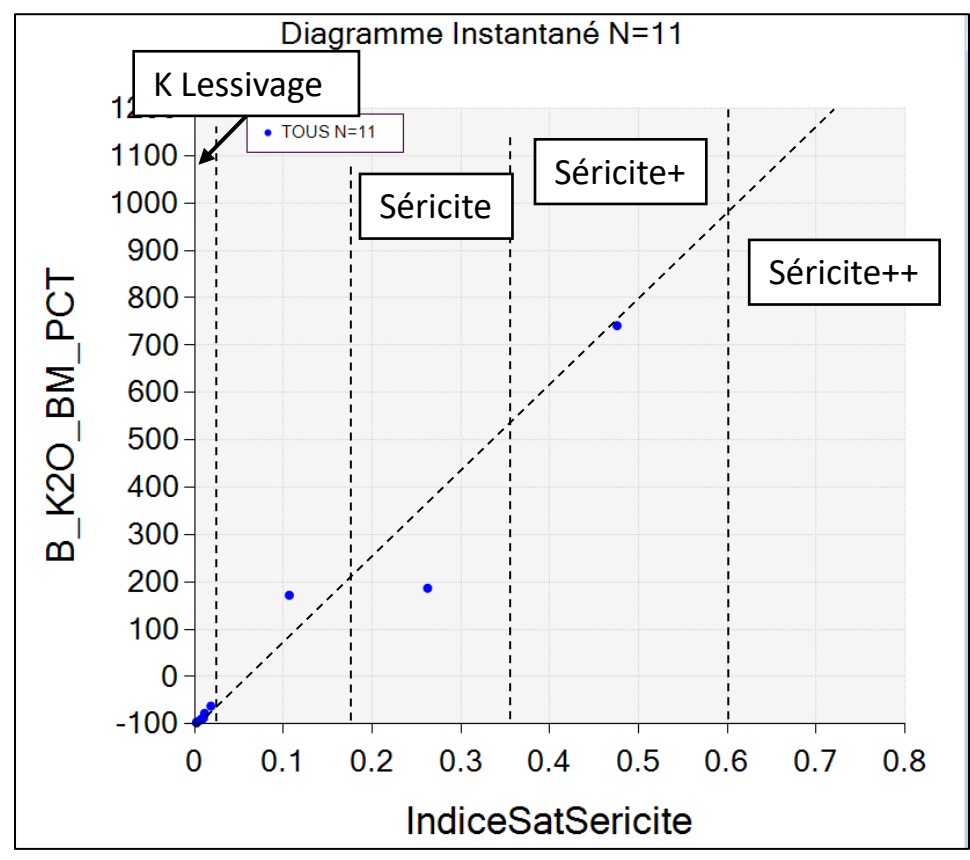


Altération hydrothermale - WRA



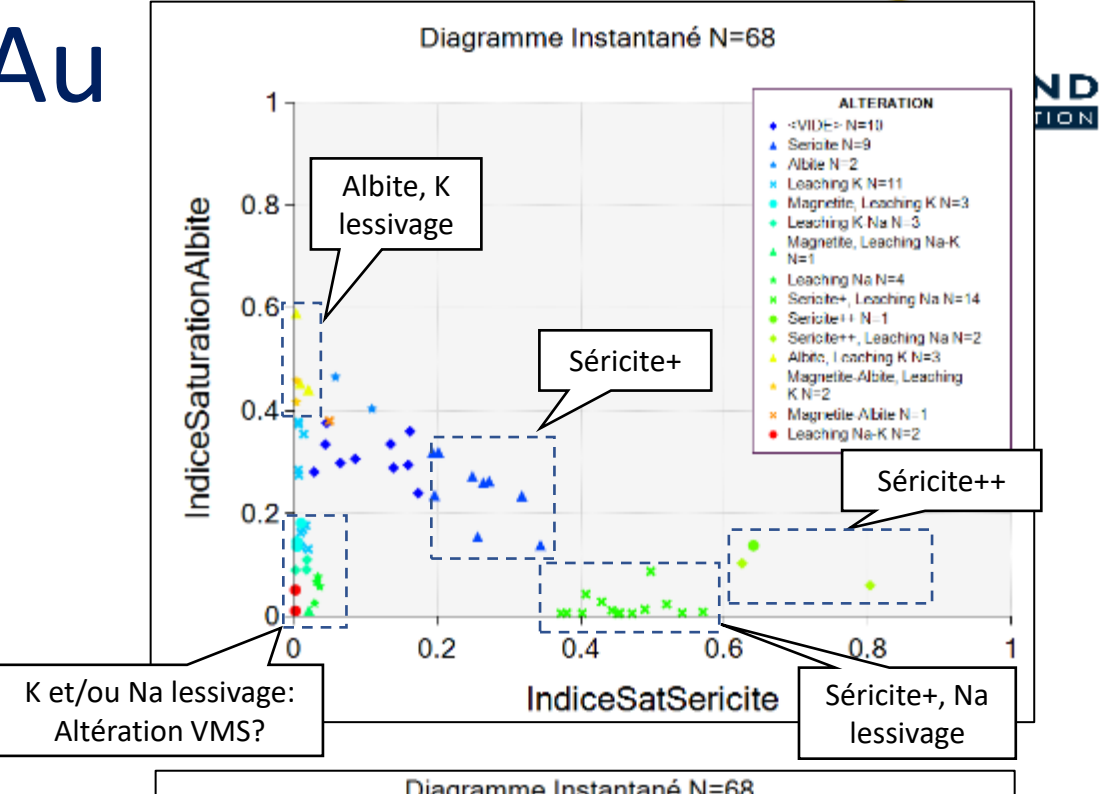
- L'indice d'altération de la séricite est utilisé pour identifier les roches présentant des variations de potassium dans les roches mafiques **analysées par ICP-4 acides.**
 - L'indice de séricite < 0,025 indique un lessivage du K (-50 % K2O).
 - 0,18 0,35: Séricite = +200% 500% K20
 - 0,35 0,6: Séricite+ = +500 1000% K2O
 - > 0,6: Séricite++ = +1000% K20
- L'indice d'altération de l'albite est utilisé pour identifier les roches présentant des modifications de la teneur en sodium dans les roches mafiques **analysées par ICP-4 acides**.
 - Indice d'Albite < 0,12: Na lessivé
 - Indice d'Albite > 0.38: Albite

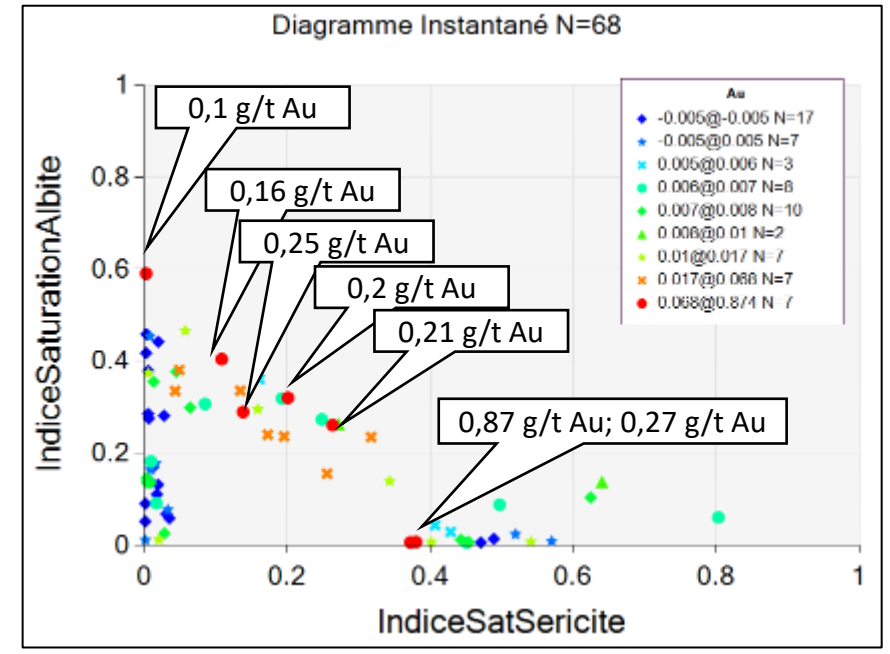




Altération hydrothermale+ Au

- Des teneurs en or plus élevées ne sont pas particulièrement associées à des altérations importantes en séricite ou en albite.
 - Exceptions: l'albite la plus riche contient 0,1 g/t d'or
 - Les teneurs de 0,87 g/t Au et 0,27 g/t Au correspondent à des altérations de séricite avec lessivage du sodium (mais pas les plus importantes).
- La plupart des teneurs en or anormales se trouvent dans des altérations moyennes d'albite et de séricite.
- Lessivage du Na et du K non associé à l'Au
- Le lessivage du K+Na est caractéristique de l'altération hydrothermale volcanogénique.





Altération hydrothermale + Au, As, Pb, Zn

0,1 g/t Au, 206

ppm As, 50 ppm

MidLAND

32

-0.1@25 N=40

▲ 25@45 N-8

Diagramme Instantané N=68

0.2 g/t Au.

153 ppm As

0,21 g/t Au,

156 ppm As

0,06 g/t Au, 903

ppm As + Mt

0,05 g/t Au, 63 ppm As

0,25 g/t Au,

126 ppm As

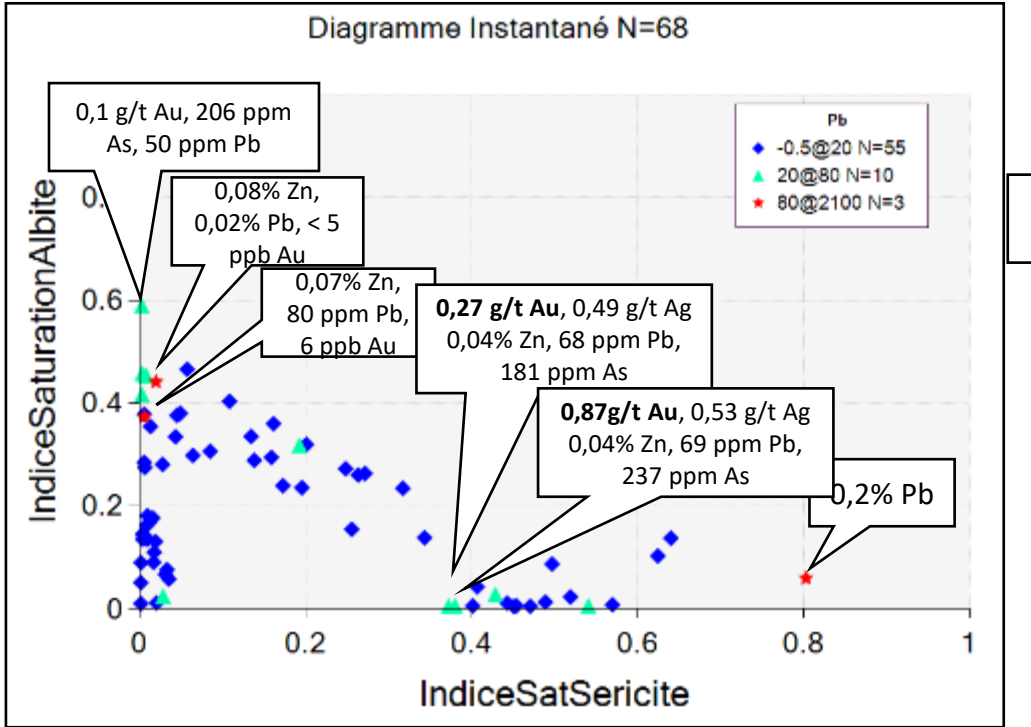
0.8-

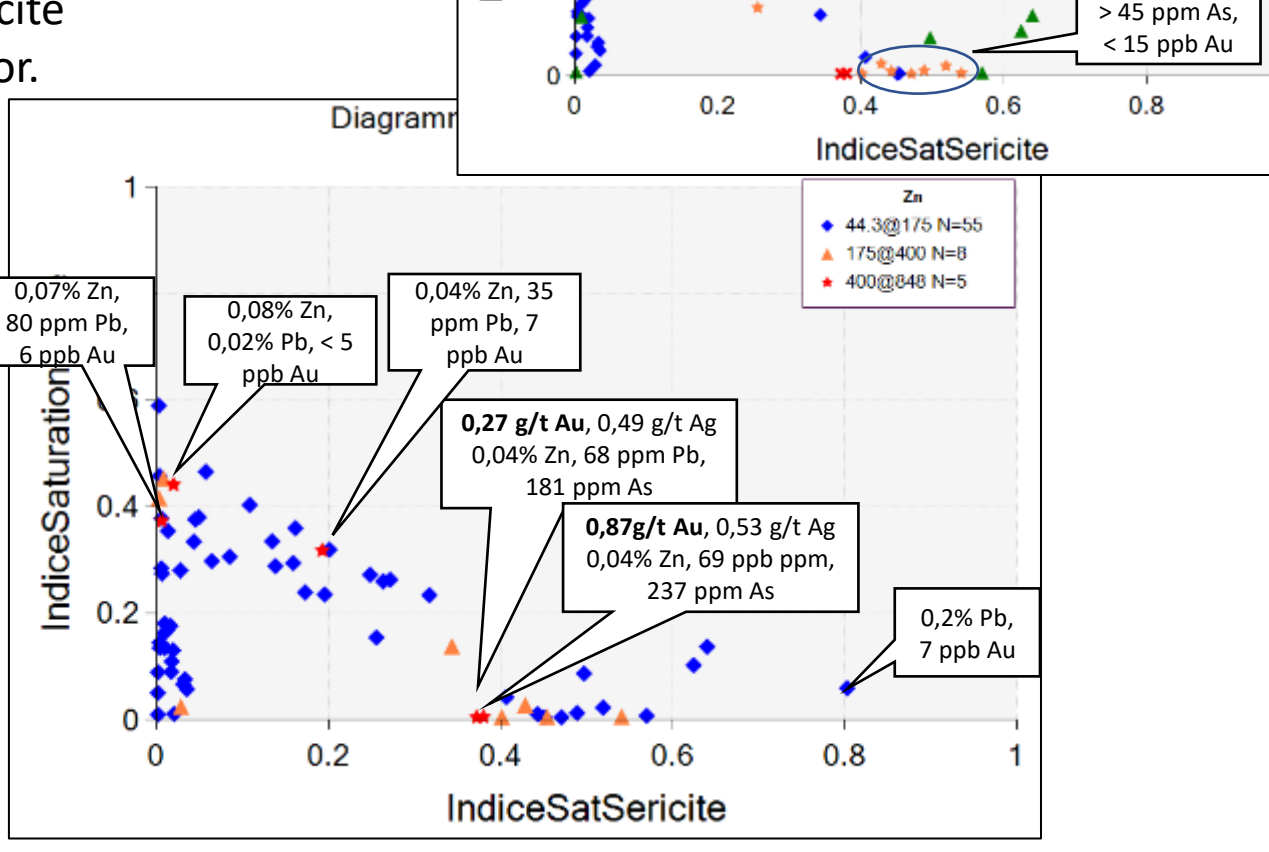
0.6

IndiceSaturation/

• Les deux teneurs en Au les plus élevées relevées dans l'étude sont associées à une minéralisation en Pb, Zn, Ag, As et à une altération modérée de la séricite.

- Certaines minéralisations Pb-Zn-As associées à l'altération à l'albite sont stériles en Au
- La plupart des intervalles anomaux en Au (0,02 à 0,25 g/t Au) ne sont pas associés Pb-Zn; minéralisation Au-As.
- Certaines anomalies d'arsenic associées à une séricite modérée à forte présentent de faibles teneurs en or.





Altération hydrothermale + Métals par forage



- Meilleurs intervalles Au
 - LEW-24-001 5-10m, 30-35m Au-As-Séricite
 - LEW-24-002 152 156m, Séricite-As-Pb-Zn-Au (0,87 g/t Au)
- La minéralisation Pb-Zn est beaucoup plus évidente dans LEW-24-002
- Les meilleures valeurs Au sont associées à l'altération Pb-Zn et à la séricite.
- Les altérations de séricite les plus marquées contiennent du Zn-Pb-As mais très peu Au.
- Valeurs Au-As associées à une altération de la séricite
- Altération de l'albite principalement sans or
- Altération de la magnétite sans or
- Minéralisation de Ba (stérile) trouvée dans LEW-24-002

LEW-24-001

- 5 10: Sericite-Calcite Au As (Albite)
- 30 35: Sericite-Calcite Au As
- 47 50: Epidote-Magnetite-Calcite, lessivage K
- 197 199: Sericite Zn Pb
- LEW-24-002
 - 13.6 21.45: Sericite + Zn Pb+ As
 - 35 41: Ba, leaching K
 - 43 47.5: Albite As Pb+ Zn+ (Au)
 - 148.5 152: Magnetite-Albite-Calcite As Pb Zn
 - 152 156: Sericite-Calcite As Pb Zn Au+
 - 156 160.45: Sericite-Calcite As
 - 182 187: Calcite-As Au

Au vs. As, Pb, Ag

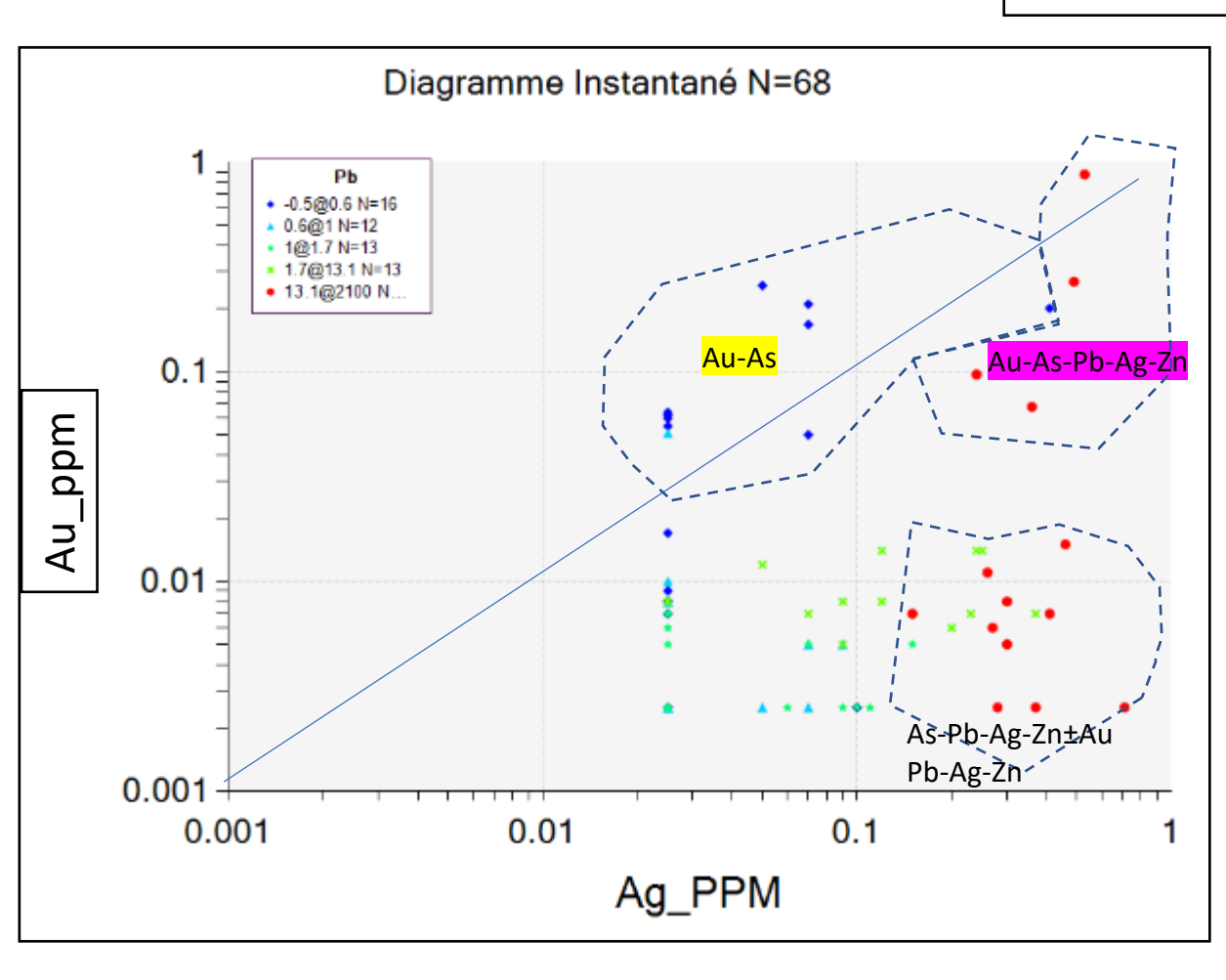
Au-As : Au / Ag > = 0,8 **TOUT DANS LEW-24-01**

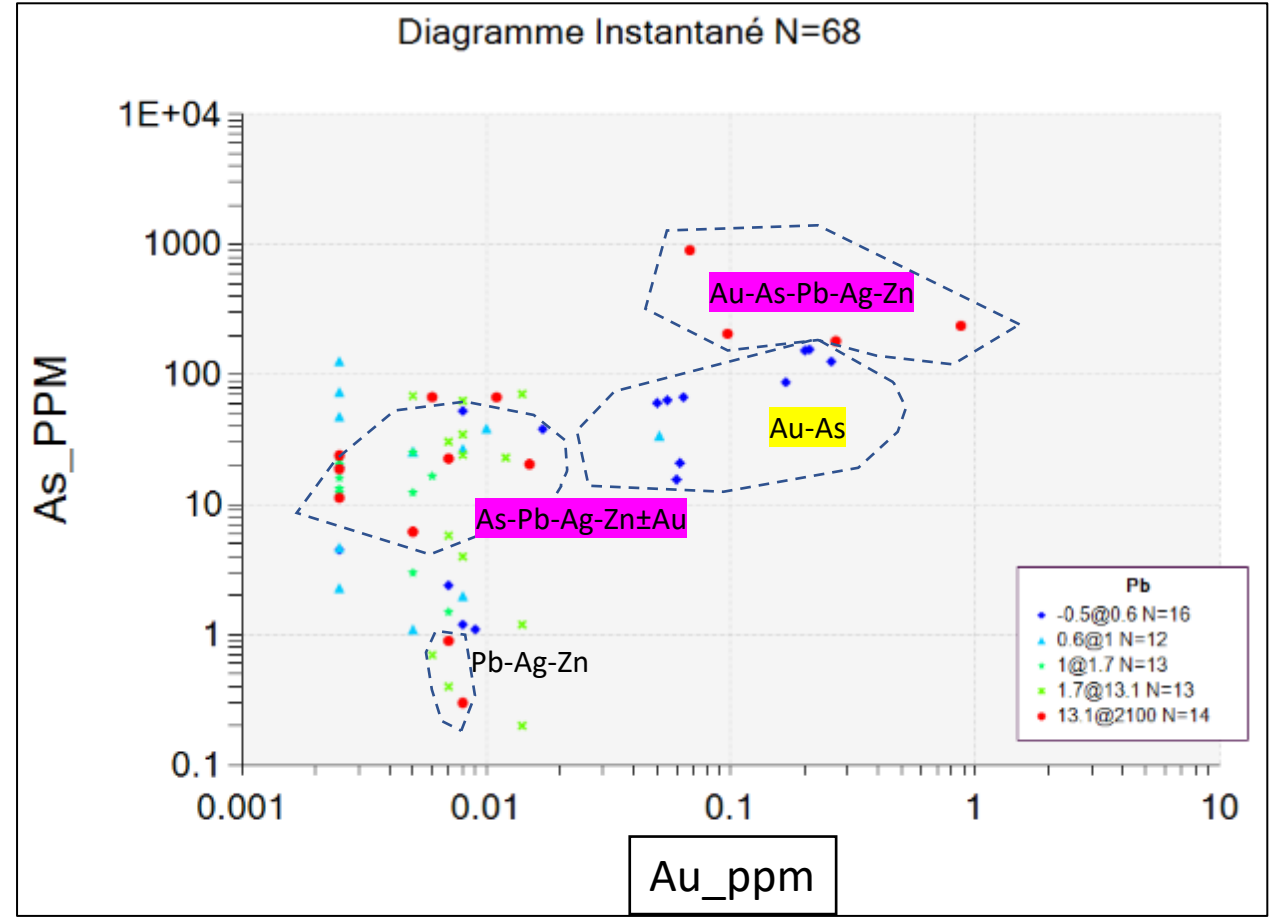
Au-As-Pb-Ag-Zn: Au / Ag <= 1 **TOUT DANS LEW-24-02**

As-Pb-Ag-Zn \pm Au : Au < Ag < 0.1 **TOUT DANS LEW-24-02**

Zn-Pb-Ag: tout dans LEW-24-01







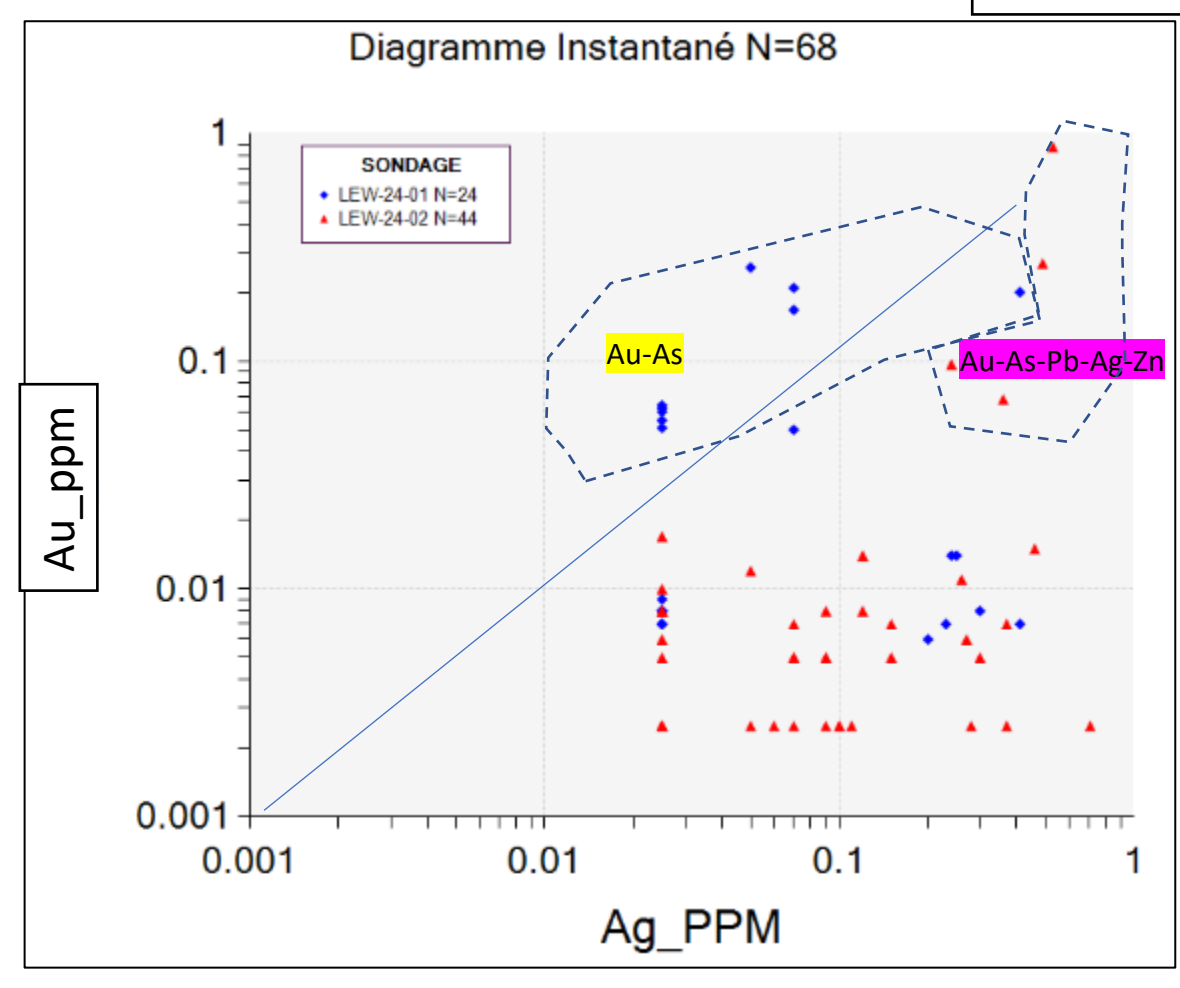
Au vs. As, Pb, Ag

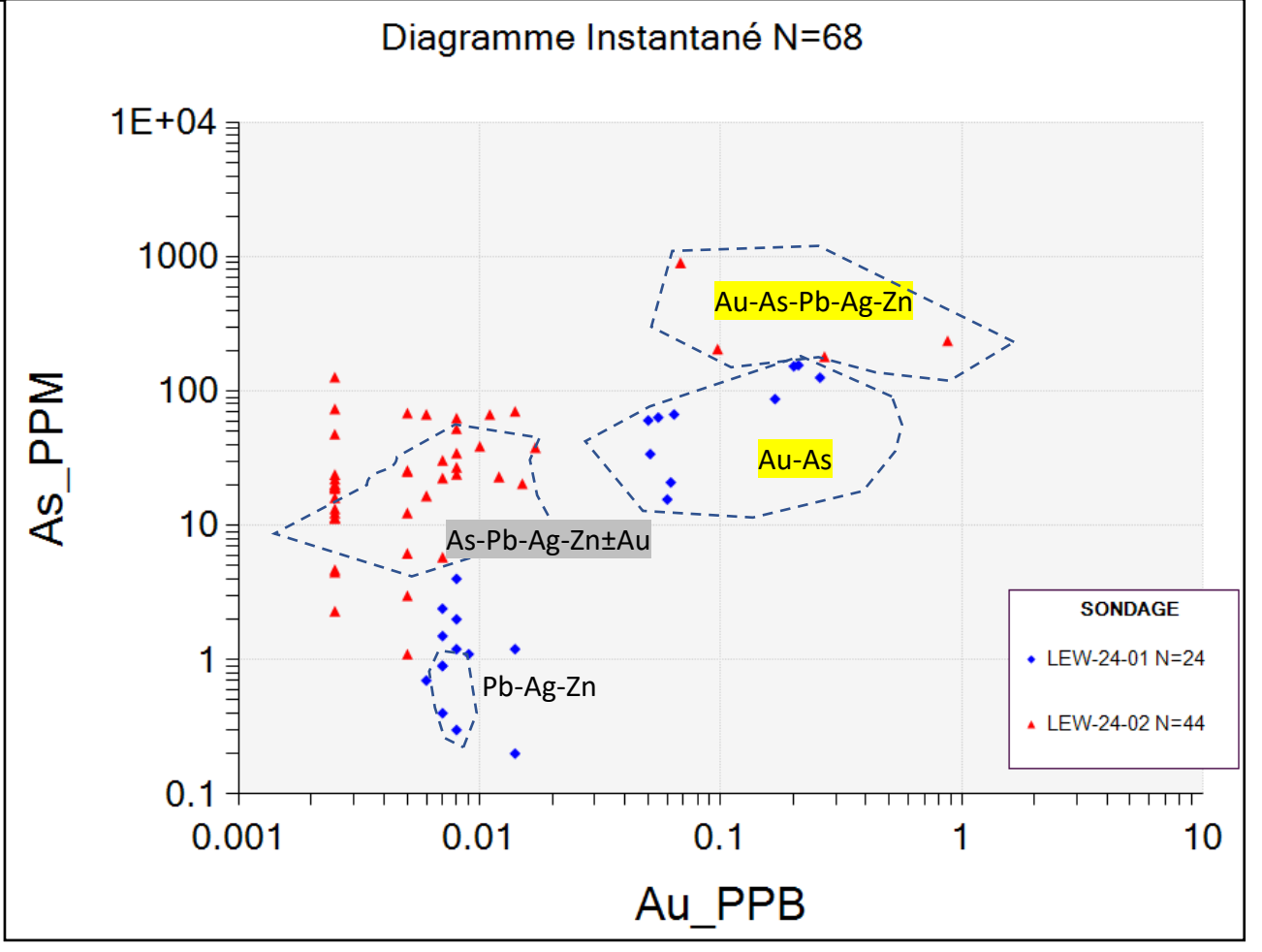


Mx Au-As : Au / Ag > = 0.8 TOUT DANS LEW-24-01

Mx Au-As-Pb-Ag-Zn: Au / Ag <= 1 **TOUT DANS LEW-24-02**

 $Mx As-Pb-Ag-Zn \pm Au : Au < Ag < 0.1$

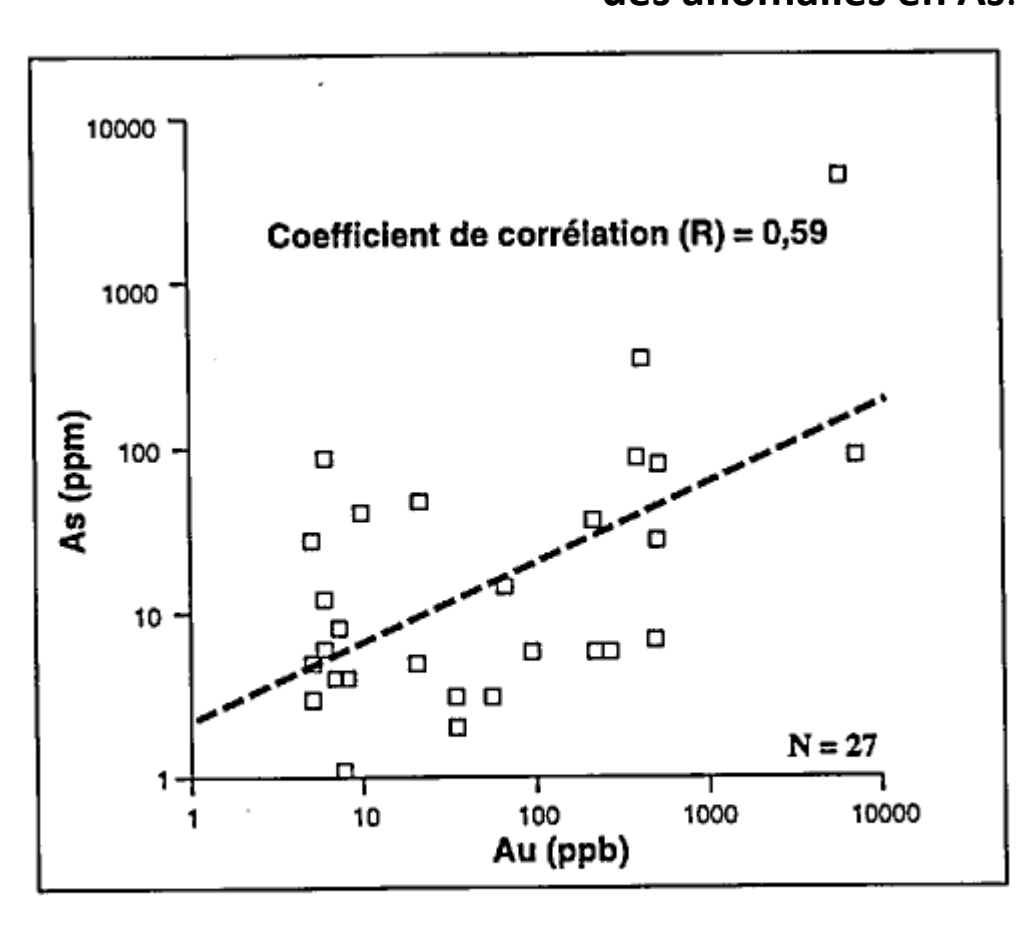


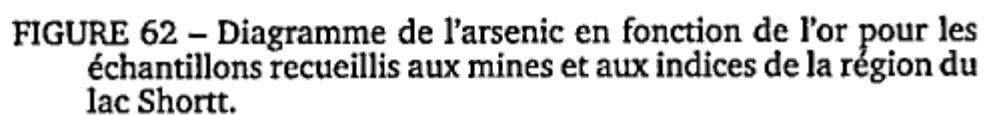


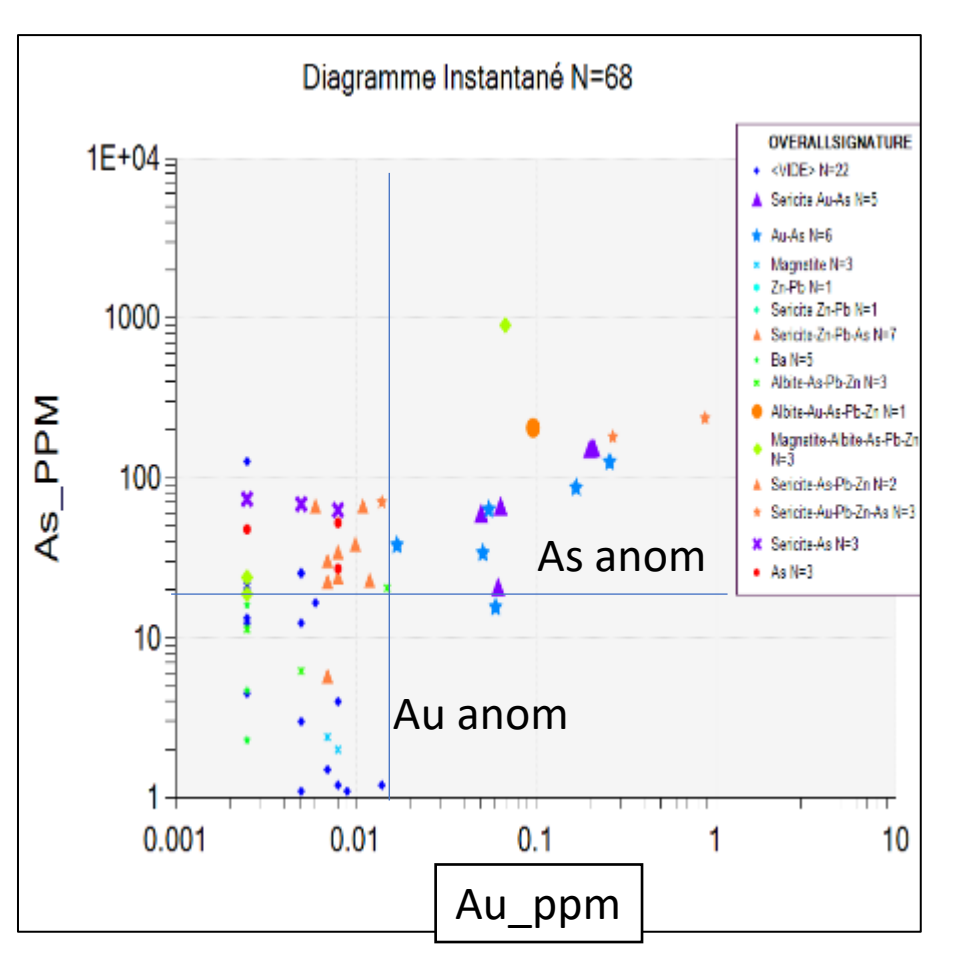
Au vs. As - ET-92-04



Nombreuses anomalies en As (50 % des analyses présentent une anomalie en As). Toutes les valeurs d'or supérieures à 15 ppb sont également considérées comme des anomalies en As.







Au vs. As - ET-92-04

MIDLAND

- Dans cette zone, la minéralisation aurifère associée à la syénitecarbonatite (1b) présente la Py comme sulfure principal, mais pas de AS ni de sulfures disséminés – mines de Lac Shortt et Bachelor.
- Aucune trace d'arsénopyrite n'a été signalée à la mine de Bachelor par Fayol et al., 2017.
- La minéralisation de style orogénique dans la région (veines de Qtz-Sulfures) est riche en As (1a)
- La minéralisation à Lewis est également riche en As et associée à des veines – probablement de type orogénique 1a ? Ce sont les seuls indices présents dans cette zone.
- Certains intervalles riches en Ba dans LEW-24-002 pourraient cependant être associés à la syénite?

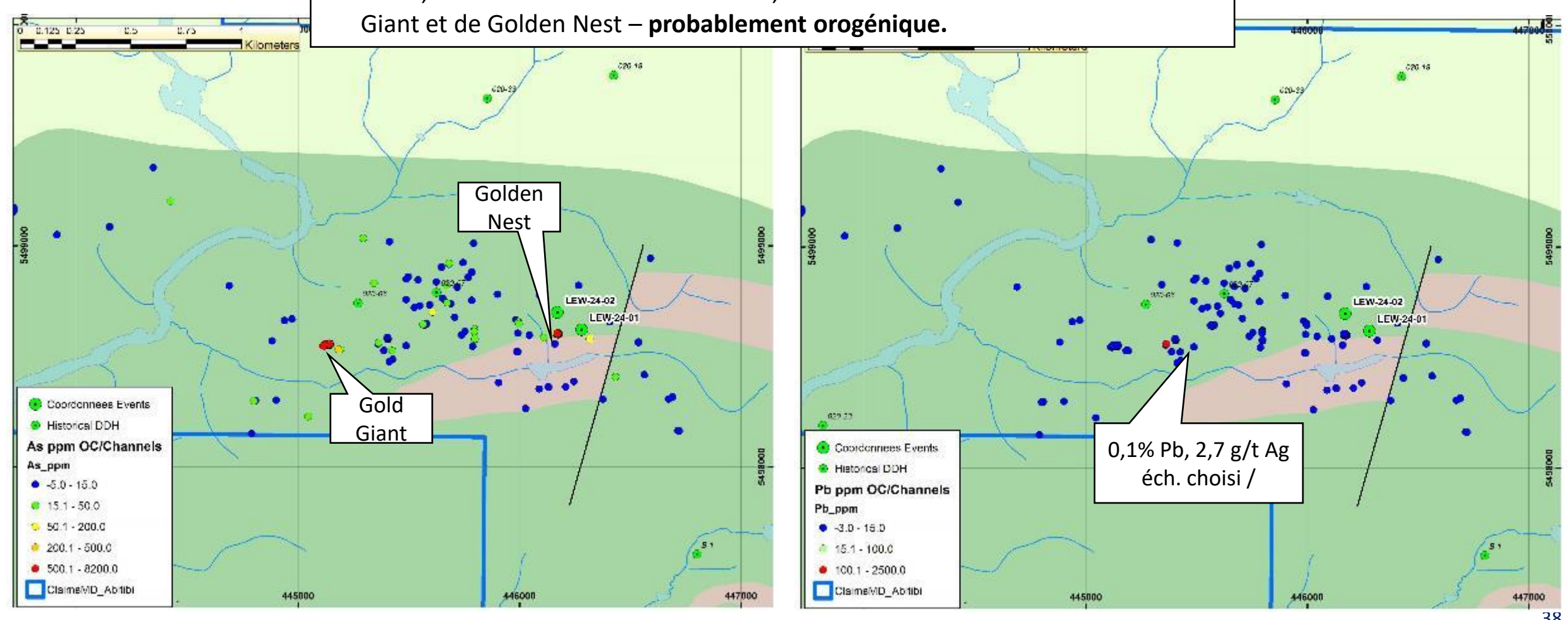
Classification typologique(1)	Exemples (indice, secteur, minc)	Minéralisation(2) (teneur – tonnage)	Roches encaissantes	Métamorphisme régional et minéraux d'altération	Géochimie	Gangue et phases métalliques	Contrôle structural (style, orientation des zones de cisaillement et jeux)
SOUS-TYPE 1a Minéralisation aurifère du type "veines de quartz-sulfures liées à des zones de cisaillement "E-W" dans les roches volcanosédimentaires et les intrusions mafiques associées"	Savane	Au : 6,3 g/t sur 1,2 m	Basaltes	Assemblages d'altération : 1) Carbonates-chlorite-micas (séricite et biotite) 2) Carbonates-	Gains de C, S, <u>Au. As,</u> Ag, Cs, Li, Rb, U, W, Zn	Veines de quartz carbonates ± albite et roches altérées	Déformation fragile et fragile-ductile
	Relique	Au : 5,3 g/t sur 0,6 m	Basaltes				
	Butte	Au : 21 g/t sur 0,6 m	Laves felsiques			Pyrite dominante; quantités mineures de chalcopyrite, pyrrhotite, ilménite, hématite et or natif	Approximativement E, mais variant entre ENE et ESE
	Cominco	Au : 297 ppb	Volcanites felsiques		Gains et pertes de H, K, Na. Ba. Cr, Sb, Sr Pertes de Si, Mg, Mn, Cu, Dy		
	Espoir	Au : 4,7 g/t sur 0,6 m	Laves felsiques et roches volcanoclasti-				Jeux inverses, inverses-dextres et dextres-inverses, parfois senestres (tardifs et ilés au type 2)
	Nariposite	Au : 6,4 g/t sur 7,9 m	ques Roches sédimentaires				
	SE Lac Shortt	Au:5g/t	d'origine volcanique Roches pyroclastiques polygéniques Gabbros quartzifères, diorites porphyriques				
	NW Lac Shortt	Au : 24,3 g/t					
	Île Opawica	Au : 21 g/t sur 0,6 m	et basaltes Gabbros quartzifères				
SOUS-TYPE 1b Minéralisation aurifère du type "disséminations liées à des zones de ci- saillement "E-W" dans des roches volcaniques et des roches intrusivés mafiques, felsiques et alcalines"	Agar 1		Laves felsiques	Schistes verts	Gains de C, S, Na, Au, Ag, Ba, Cr, Ni, U, V, W	Roches altérées et de rares veines de quartz	Déformation fragile et fragile-ductile
	Agar 2		Basaltes et roches pyroclastiques	Assemblages d'altération: 1) Carbonates- séricite-chlorite 2) Carbonates- albite-feldspaths potassiques-séri- cite-hématite-pyrite Ag, Ba, Cr. Ni, U, V, W Gains et pertes de H, K Pertes de Ca. Dy, Li, Sc, Rb, Zn			ENE à ESE
	Lac Shortt(3)	Au:30000001 à 5g/t	Basaltes, filons de gabbro et dykes de syénite et de carbonatite			Pyrite dominante, traces de chalcopy- rite, pyrrhotite, galène, sphalérite,	Jeux variant entre inverses- dextres et dextres-inverses
	Lac Bachelor(4)	Au: 1 000 000 tà 7 g/t	Volcanites felsiques et mafiques et intru- sions granitoïdes		molybdênîte et or natif		
SOUS-TYPE 1c	SW Waswanipi	Au : 1650 ppb	Roches pyroclastiques felsiques et basaltes	Schistes verts	Gains supposés da C, H, K, S, Au	Veines de quartz- carbonates-albite et roches altérées	Déformation fragile-ductile
Minéralisation aurifère du type "veines de quartz-sulfures formant une voûte dans une chamière de pli"				Carbonates, sérici- te, chlorite et pyrite			NEE à NE: jeu senestre-norma normal
							NE à NNW : jeu dextre-normal

Signatures métalliques Golden Nest – Red Giant



La minéralisation Pb-Zn-Ag-As-Au observée dans LEW-24-02 n'est présente que dans un seul échantillon de surface (rainures et échantillons choisis). On observe un tuf lamellaire en blocs d'un mètre d'épaisseur au sein de basaltes (association probable avec un gisement de SMV).

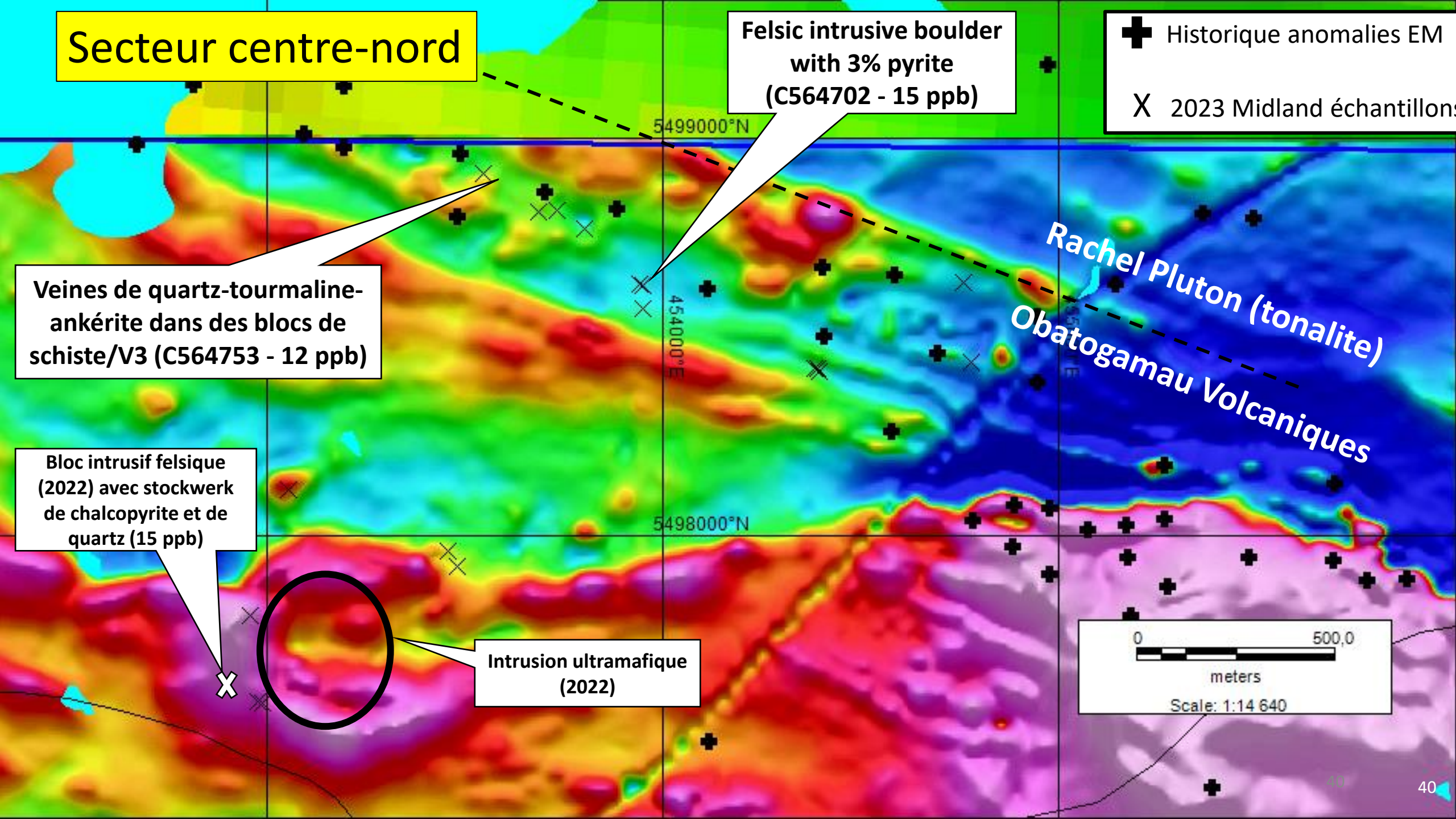
Sinon, on retrouve l'association Au-As, notamment sur les formations de Red



Lewis 2025



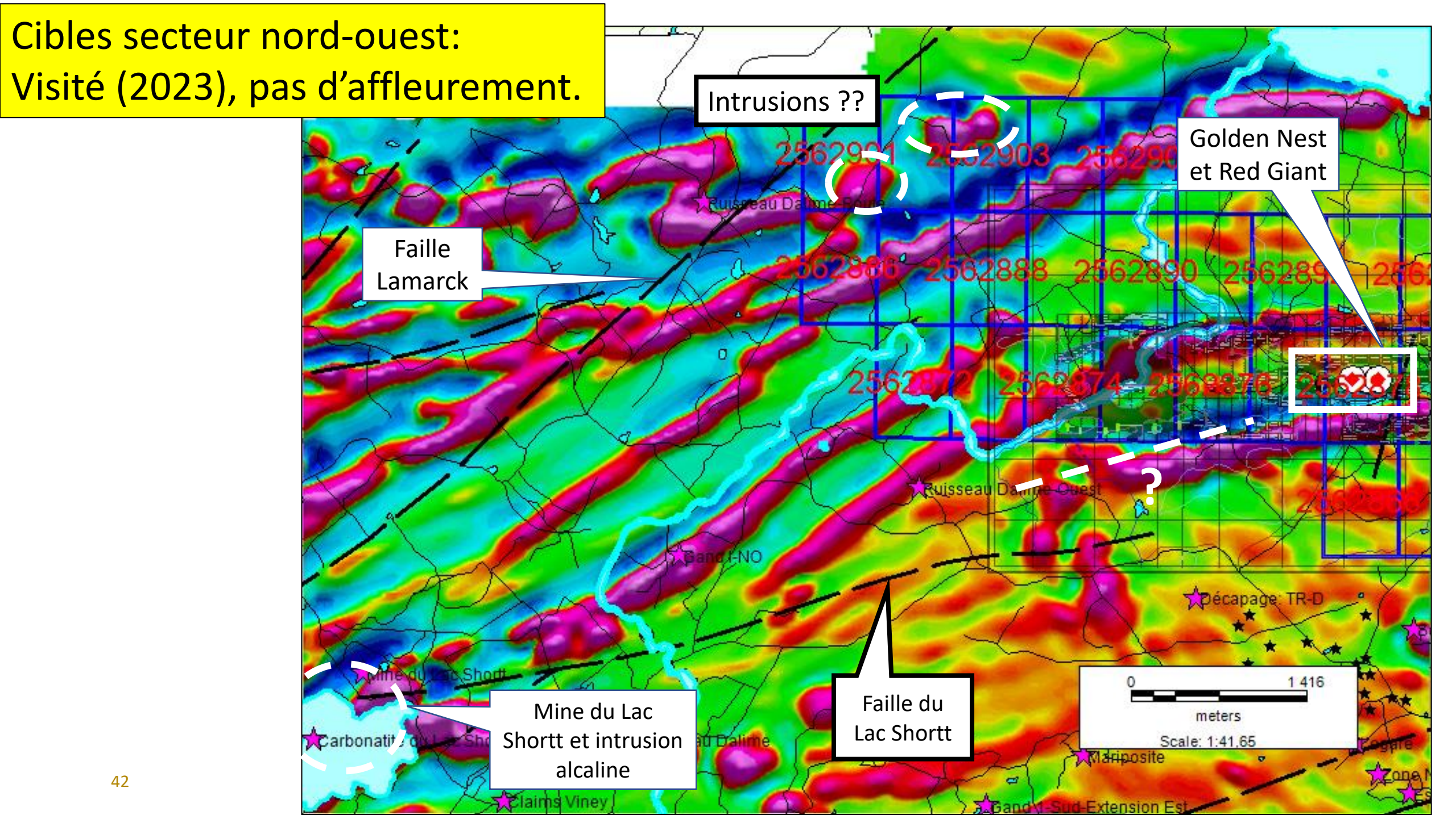
Autres secteurs d'intérêts

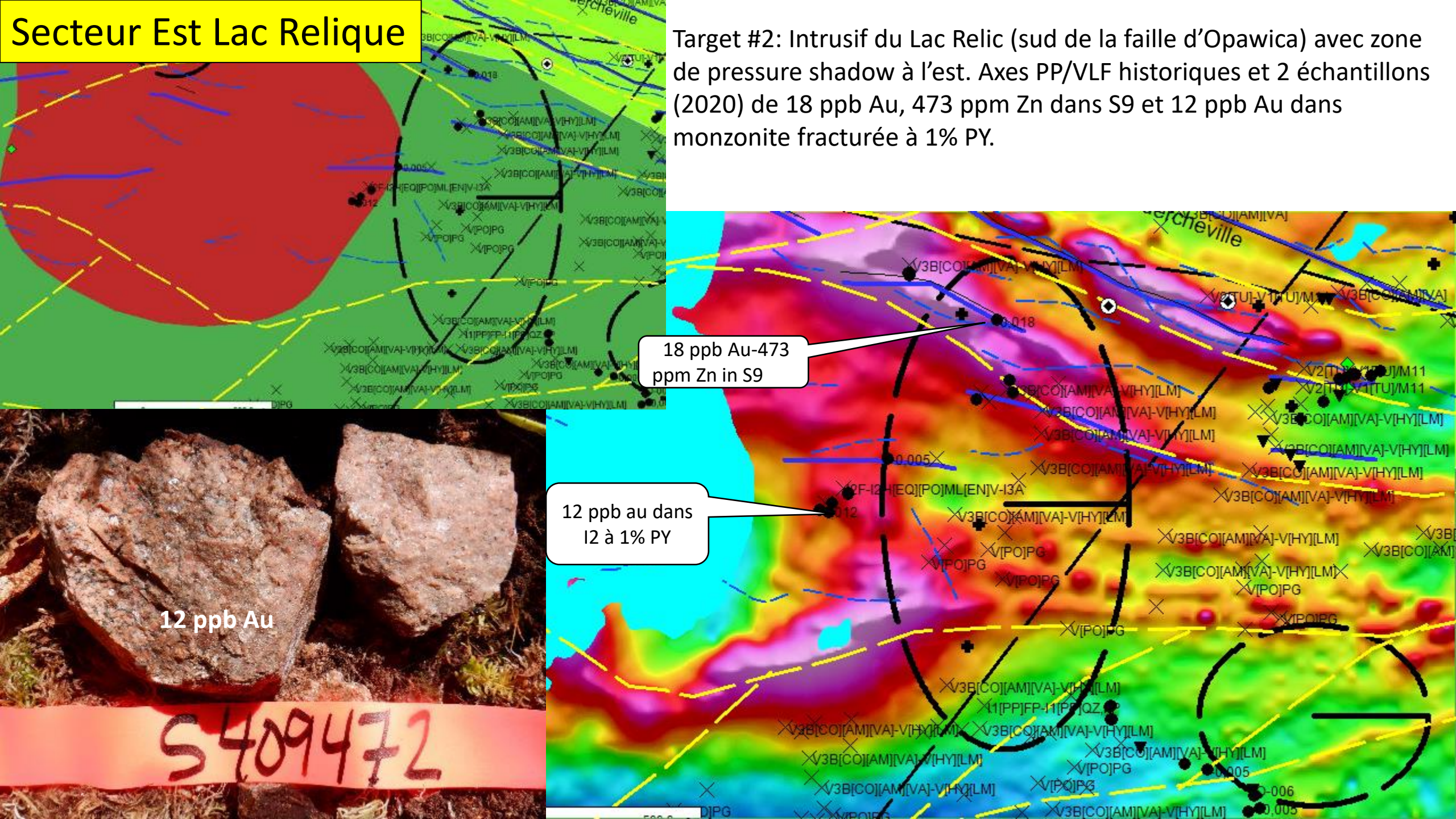


Bloc I1 stockwork VL-QZ-CP-PY (15 ppb)











PRINCIPALES ZONES DE CIBLES

- ✓ Nouvelle structure aurifère Deux indices découverts en 2020-2021 (Red Giant / Golden Nest)
- ✓ Extension possible vers le nord-est de la structure de Lac Shortt
- ✓ Faille régionale d'Opawica-Guercheville (gisement Nelligan IAMGOLD)

CIBLES PRÊTES À ÊTRE FORÉES

- ✓ Compilation des travaux historiques achevés
- ✓ Cibles PP non testées inclinées avec les nouveaux indices
- ✓ Nouveau levé Mag HR Données de haute qualité

PROCHAINE ÉTAPE

- ✓ Interprétation structurale avec un nouveau levé MAG HR(en cours)
- ✓ Finalisation du programme d'échantillonnage des sols (résultats à venir)
- ✓ Possibilité d'ajouter des grilles PP à l'est
- √ Forages ciblant au mieux les aspects structuraux/géochimie de sols/PP